

COMMITTENTE:



ALTA SORVEGLIANZA:



GENERAL CONTRACTOR:



INFRASTRUTTURE FERROVIARIE STRATEGICHE DEFINITE DALLA LEGGE OBIETTIVO N. 443/01

LINEA A.V. /A.C. TORINO – VENEZIA Tratta MILANO – VERONA
Lotto funzionale Brescia-Verona

PROGETTO ESECUTIVO

SLZ3 – SOTTOPASSO PODERALE PK 110+046.622

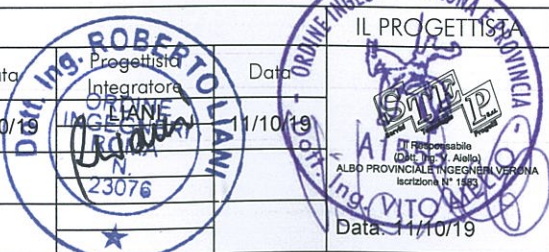
RELAZIONE DI CALCOLO MURI

GENERAL CONTRACTOR	DIRETTORE LAVORI
Consorzio Cepav due Consorzio Cepav due Il Direttore del Consorzio 29 MAG 2020 (Ing. T. Taranta)	_____ Data: _____

COMMESSA LOTTO FASE ENTE TIPO DOC OPERA/DISCIPLINA PROGR REV

I	N	O	R	1	2	E	E	2	C	L	S	L	Z	3	C	0	0	0	1	A
---	---	---	---	---	---	---	---	---	---	---	---	---	---	---	---	---	---	---	---	---

PROGETTAZIONE							IL PROGETTISTA	
Rev.	Descrizione	Redatto	Data	Verificato	Data	Data	Data	
A	Emissione	GUIARTE	11/10/19	AIELLO	11/10/19	11/10/19	11/10/19	
B								
C								



CIG. 751447334A File: INOR12EE2CLSLZ3C0001A_10.docx



Progetto cofinanziato dalla Unione Europea

Stampato dal Service di plottaggio ITALFERR S.p.A. ALBA S.r.l.

CUP: F81H91000000008

**INDICE**

1.	INTRODUZIONE	7
2.	NORMATIVA DI RIFERIMENTO	8
3.	CRITERI DI CALCOLO	9
3.1.	CRITERI DI ANALISI	9
3.2.	CALCOLO DELLE SOLLECITAZIONI NELLA SOLETTA DI FONDAZIONE	9
3.2.1.	<i>Modello di Winkler</i>	9
3.2.2.	<i>Soluzione per carico verticale all'estremità</i>	10
3.2.3.	<i>Soluzione per momento flettente all'estremità</i>	10
3.3.	CRITERI E DEFINIZIONE DELL'AZIONE SISMICA	11
3.4.	COMBINAZIONI DI CARICO	14
3.4.1.	<i>Combinazioni per la verifica allo SLU</i>	14
3.4.2.	<i>Combinazioni per la verifica allo SLE</i>	15
4.	CRITERI DI VERIFICA	16
5.	CARATTERISTICHE DEI MATERIALI	17
5.1.	CALCESTRUZZO PER MAGRONE	17
5.2.	CALCESTRUZZO	17
5.3.	ACCIAIO PER CEMENTO ARMATO	18
5.4.	DURABILITÀ E PRESCRIZIONI SUI MATERIALI	18
5.5.	COPRIFERRO MINIMO E COPRIFERRO NOMINALE	18
6.	PARAMETRI SISMICI	19
7.	PARAMETRI GEOTECNICI	20
8.	ANALISI STRUTTURALE	21
8.1.	RISPETTO DEL CAPITOLO 10.2 DEL D.M. 14.01.2008	21
8.2.	MODELLAZIONE STRUTTURALE	21
8.3.	ANALISI DEI CARICHI	22
8.3.1.	<i>Peso proprio strutture (Load 1)</i>	22
8.3.2.	<i>Spinta del terreno (Load 2)</i>	22

8.3.3.	<i>Spinta dell'acqua (Load 3)</i>	23
8.3.4.	<i>Sovraccarico accidentale in condizioni statiche e sismiche (Load 4)</i>	23
8.3.5.	<i>Azioni sismiche (Load 5,6,7,8)</i>	23
9.	COMBINAZIONI DI CARICO	25
9.1.	CALCOLO DELLE SOLLECITAZIONI	25
9.2.	COMBINAZIONI SLU	26
9.3.	COMBINAZIONI SLV	26
9.4.	COMBINAZIONI SLE	27
10.	MURO AD "U" - TIPOLOGIA 1 – H = 4.03M	28
10.1.	GEOMETRIA DELLA STRUTTURA	28
10.2.	PRESSIONI SUL PIEDRITTO DOVUTE AI CARICHI FONDAMENTALI	29
10.3.	RIASSUNTO DELLE SOLLECITAZIONI ALLA BASE DEL PIEDRITTO (IN ASSE SOLETTA).....	30
10.4.	RIASSUNTO SOLLECITAZIONI MASSIME PIEDRITTO	31
10.4.1.	<i>Combinazioni SLU – SLV</i>	31
10.4.2.	<i>Combinazioni SLE</i>	31
10.5.	RIASSUNTO MASSIME SOLLECITAZIONI SOLETTA	32
10.5.1.	<i>Combinazioni SLU - SLV</i>	32
10.5.2.	<i>Combinazioni SLE</i>	32
10.6.	DIAGRAMMI DI INVILUPPO SLU-SLV	33
10.6.1.	<i>Piedritti</i>	33
10.6.2.	<i>Soletta</i>	34
10.7.	DIAGRAMMI DI INVILUPPO SLE	35
10.7.1.	<i>Piedritti</i>	35
10.7.2.	<i>Soletta</i>	35
10.8.	VERIFICHE DI RESISTENZA ULTIMA E DI ESERCIZIO	36
10.8.1.	<i>Soletta</i>	36
10.8.1.1.	<i>Verifiche allo stato limite ultimo per flessione</i>	37
10.8.1.2.	<i>Verifiche allo stato limite ultimo per taglio</i>	38
10.8.1.3.	<i>Verifiche allo stato limite di esercizio</i>	39

10.8.2. Piedritto.....	40
10.8.2.1. Verifiche allo stato limite ultimo per flessione.....	41
10.8.2.2. Verifiche allo stato limite ultimo per taglio	42
10.8.2.3. Verifiche allo stato limite di esercizio	43
11. MURO AD “U” - TIPOLOGIA 2 – H = 5.32M	44
11.1. GEOMETRIA DELLA STRUTTURA	44
11.2. PRESSIONI SUL PIEDRITTO DOVUTE AI CARICHI FONDAMENTALI	45
11.3. RIASSUNTO DELLE SOLLECITAZIONI ALLA BASE DEL PIEDRITTO (IN ASSE SOLETTA).....	46
11.4. RIASSUNTO SOLLECITAZIONI MASSIME PIEDRITTO	47
11.4.1. Combinazioni SLU – SLV	47
11.4.2. Combinazioni SLE	47
11.5. RIASSUNTO MASSIME SOLLECITAZIONI SOLETTA	48
11.5.1. Combinazioni SLU - SLV.....	48
11.5.2. Combinazioni SLE	48
11.6. DIAGRAMMI DI INVILUPPO SLU-SLV	49
11.6.1. Piedritti.....	49
11.6.2. Soletta	50
11.7. DIAGRAMMI DI INVILUPPO SLE	51
11.7.1. Piedritti.....	51
11.7.2. Soletta.....	51
11.8. VERIFICHE DI RESISTENZA ULTIMA E DI ESERCIZIO	52
11.8.1. Soletta.....	52
11.8.1.1. Verifiche allo stato limite ultimo per flessione.....	53
11.8.1.2. Verifiche allo stato limite ultimo per taglio	54
11.8.1.3. Verifiche allo stato limite di esercizio	55
11.8.2. Piedritto.....	56
11.8.2.1. Verifiche allo stato limite ultimo per flessione.....	57
11.8.2.2. Verifiche allo stato limite ultimo per taglio	58
11.8.2.3. Verifiche allo stato limite di esercizio	59
12. MURO AD “U” - TIPOLOGIA 3 – H = 6.40M	60
12.1. GEOMETRIA DELLA STRUTTURA	60

12.2.	PRESSIONI SUL PIEDRITTO DOVUTE AI CARICHI FONDAMENTALI	61
12.3.	RIASSUNTO DELLE SOLLECITAZIONI ALLA BASE DEL PIEDRITTO (IN ASSE SOLETTA).....	62
12.4.	RIASSUNTO SOLLECITAZIONI MASSIME PIEDRITTO	63
12.4.1.	<i>Combinazioni SLU – SLV</i>	63
12.4.2.	<i>Combinazioni SLE</i>	63
12.5.	RIASSUNTO MASSIME SOLLECITAZIONI SOLETTA	64
12.5.1.	<i>Combinazioni SLU - SLV</i>	64
12.5.2.	<i>Combinazioni SLE</i>	64
12.6.	DIAGRAMMI DI INVILUPPO SLU-SLV	65
12.6.1.	<i>Piedritti</i>	65
12.6.2.	<i>Soletta</i>	66
12.7.	DIAGRAMMI DI INVILUPPO SLE	67
12.7.1.	<i>Piedritti</i>	67
12.7.2.	<i>Soletta</i>	67
12.8.	VERIFICHE DI RESISTENZA ULTIMA E DI ESERCIZIO	68
12.8.1.	<i>Soletta</i>	68
12.8.1.1.	<i>Verifiche allo stato limite ultimo per flessione</i>	69
12.8.1.2.	<i>Verifiche allo stato limite ultimo per taglio</i>	70
12.8.1.3.	<i>Verifiche allo stato limite di esercizio</i>	71
12.8.2.	<i>Piedritto – sezione di base</i>	72
12.8.2.1.	<i>Verifiche allo stato limite ultimo per flessione</i>	73
12.8.2.2.	<i>Verifiche allo stato limite ultimo per taglio</i>	74
12.8.2.3.	<i>Verifiche allo stato limite di esercizio</i>	75
12.8.3.	<i>Piedritto – a 130cm dalla sezione di base</i>	76
12.8.3.1.	<i>Verifiche allo stato limite ultimo per flessione</i>	77
12.8.3.2.	<i>Verifiche allo stato limite di esercizio</i>	78
12.8.4.	<i>Piedritto – a 160cm dalla sezione di base</i>	79
12.8.4.1.	<i>Verifiche allo stato limite ultimo per flessione</i>	80
12.8.4.2.	<i>Verifiche allo stato limite di esercizio</i>	81
13.	RIFERIMENTI.....	82
13.1.	DOCUMENTI REFERENZIATI.....	82

GENERAL CONTRACTOR

Cepav due



ALTA SORVEGLIANZA



Doc. N.

Progetto
INOR

Lotto
12

Codifica Documento
E E2 CL SLZ3 C0 001

Rev.
A

Foglio
6 di 82

13.2.	DOCUMENTI CORRELATI	82
13.3.	DOCUMENTI SUPERATI.....	82

1. INTRODUZIONE

La presente relazione è relativa al calcolo dei muri facenti parte dell'opera denominata "SLZ3 – Sottopasso poderale pk 110+046.622", prevista nell'ambito dei lavori inerenti la linea A.V./A.C. TORINO – VENEZIA, tratta MILANO – VERONA, lotto funzionale Brescia – Verona, ubicata al km 110+046.622 della linea ferroviaria.

I muri lato Sud sono costituiti da 8 conci con sezione trasversale a "U".

I muri lato Nord sono costituiti da 7 conci con sezione trasversale a "U" e dalla vasca di sollevamento.

Tutti i muri sono realizzati mediante getto in opera del calcestruzzo.

MURI AD U

(b=larghezza interna, L=lunghezza, h=altezza piedritto, S_p =spessore base piedritto, S_s =spessore fondazione)

	b [m]	L [m]	h [m]	S_p [m]	S_s [m]
Concio 1 – Sud	5.00 ÷ 5.20	6.10	1.55 ÷ 4.03	0.45 ÷ 0.70	0.70
Concio 2 – Sud	5.20 ÷ 5.21	6.10	4.52	0.75	0.80
Concio 3 – Sud	5.21	6.10	4.96	0.80	0.80
Concio 4 – Sud	5.21	6.10	5.32	0.83	0.80
Concio 5 – Sud	5.20	6.10	5.58	0.86	0.90
Concio 6 – Sud	5.20	6.10	5.76	0.88	0.90
Concio 7 – Sud	5.20 ÷ 5.25	4.10	5.98	0.90	0.90
Concio 8 – Sud	5.25 ÷ 5.00	4.10	5.98 ÷ 6.90	0.90 ÷ 0.99	0.90
Concio 9 – Nord	5.00	8.40	6.90 ÷ 5.41	0.99 ÷ 0.84	0.90
Concio 11 – Nord	5.00	6.10	5.08	0.81	0.80
Concio 12 – Nord	5.00	6.10	4.87	0.79	0.80
Concio 13 – Nord	5.00	6.10	4.58	0.76	0.80
Concio 14 – Nord	5.00	6.10	4.22	0.72	0.80
Concio 15 – Nord	5.00	6.10	3.80	0.68	0.70
Concio 16 – Nord	5.00	6.10	3.37 ÷ 1.50	0.64 ÷ 0.45	0.70

Le analisi strutturali vengono effettuate su strutture piane che descrivono una striscia larga 1.00m, secondo i criteri di calcolo di seguito descritti, ed individuando le sezioni di calcolo maggiormente significative per ciascuna tipologia di concio, denominate come segue:

- Muro ad U tipo 1 – sp. fondazione $S_s = 0.70m$, $h = 4.03m$, rappresentativa dei Conci 1, 15, 16;
- Muro ad U tipo 2 – sp. fondazione $S_s = 0.80m$, $h = 5.32m$, rappresentativa dei Conci 2, 3, 4, 11, 12, 13, 14;
- Muro ad U tipo 3 – sp. fondazione $S_s = 0.90m$, $h = 6.40m$, rappresentativa dei Conci 5, 6, 7, 8, 9.

Le azioni considerate nel calcolo sono quelle tipiche di un'opera di sostegno interrata, con applicazione della Normativa D. M. Min. II. TT. del 14 gennaio 2008 – Norme tecniche per le costruzioni.

L'opera, ubicata nel Comune di Calcinato (BS), ricade in zona sismica: verranno pertanto considerate anche le azioni derivanti dall'analisi sismica, secondo quanto previsto dal D.M. 14/01/08.



2. **NORMATIVA DI RIFERIMENTO**

- UNI EN 197-1 giugno 2001 – “Cemento: composizione, specificazioni e criteri di conformità per cementi comuni”;
- UNI EN 11104 luglio 2016 – “Calcestruzzo: specificazione, prestazione, produzione e conformità”, Istruzioni complementari per l’applicazione delle EN 206-1;
- UNI EN 206-1 ottobre 2006 – “Calcestruzzo: specificazione, prestazione, produzione e conformità”.
- UNI EN 1998-5 (Eurocodice 8) – Gennaio 2005: “Progettazione delle strutture per la resistenza sismica – Parte 5: Fondazioni, strutture di contenimento ed aspetti geotecnici”;
- UNI EN 1992-1-1 (Eurocodice 2) – Novembre 2005: “Progettazione delle strutture di calcestruzzo – Parte 1: Regole generali e regole per edifici”;
- D. M. Min. II. TT. del 14 gennaio 2008 – Norme tecniche per le costruzioni;
- CIRCOLARE 2 febbraio 2009, n.617 Istruzione per l’applicazione delle «Nuove norme tecniche per le costruzioni» di cui al decreto ministeriale 14 gennaio 2008;
- Linee guida sul calcestruzzo strutturale - Presidenza del Consiglio Superiore dei Lavori Pubblici - Servizio Tecnico Centrale;
- RFI DTC SI MA IFS 001 A - Manuale di Progettazione delle Opere Civili;
- RFI DTC SI SP IFS 001 A Capitolato Generale Tecnico di Appalto delle Opere Civili.

3. CRITERI DI CALCOLO

In ottemperanza al D.M. del 14.01.2008 (Norme tecniche per le costruzioni), i calcoli sono condotti con il metodo semiprobabilistico agli stati limite.

3.1. Criteri di analisi

L'analisi viene svolta analiticamente valutando l'entità dei carichi sollecitanti i piedritti e determinando i valori di sollecitazione nelle sezioni di interesse.

Anche il calcolo delle sollecitazioni della fondazione viene eseguito in via analitica considerando la soletta come una trave su suolo alla Winkler con condizioni al contorno note.

3.2. Calcolo delle sollecitazioni nella soletta di fondazione

Le sollecitazioni nella soletta di base sono dovute alle azioni scaricate al piede dei piedritti, costituite da:

- azione assiale;
- momento alla base dei piedritti.

La trave presenta una lunghezza L finita ed è vincolata solamente attraverso il suolo elastico.

Il calcolo delle sollecitazioni viene effettuato per sovrapposizione degli effetti dovuti alle sollecitazioni gravanti da entrambi i piedritti.

3.2.1. Modello di Winkler

Il modello di Winkler schematizza il suolo con una relazione lineare fra il cedimento in un punto della superficie limite e la pressione agente nello stesso punto, indipendentemente da altri carichi applicati in punti diversi. Si assume, cioè:

$$p = k_w$$

dove k [FL^{-3}] è detta "costante di sottofondo".

L'equazione differenziale che descrive il problema della trave di rigidezza $E_f J$ su suolo elastico e assoggettata ad un carico distribuito $q(x)$ è:

$$E_f J \frac{d^4 w}{dx^4} + k B w(x) = q(x)$$

La soluzione si ottiene sommando l'integrale generale dell'omogenea associata $\{q(x)=0\}$ con l'integrale particolare relativo al carico $q(x)$. L'equazione omogenea associata si scrive:

$$E_f J \frac{d^4 w}{dx^4} + k B w(x) = 0$$

ed è nota come equazione "della trave elastica su suolo elastico".

La soluzione dell'equazione particolare viene tralasciata in quanto una trave alla Winkler soggetta ad un carico distribuito (come il peso proprio) presenta uno spostamento costante lungo il suo asse e non è soggetta a sollecitazioni di momento o taglio.

L'integrale generale della soluzione omogenea ha l'espressione:

$$w = e^{\frac{x}{\lambda}} \left(A \cos \frac{x}{\lambda} + B \sin \frac{x}{\lambda} \right) + e^{-\frac{x}{\lambda}} \left(C \cos \frac{x}{\lambda} + D \sin \frac{x}{\lambda} \right)$$

Nella quale

$$\lambda = \sqrt[4]{\frac{4E_f J}{kB}}$$

ha le dimensioni di una lunghezza ed è detta lunghezza caratteristica o lunghezza d'onda della trave, ed A, B, C e D sono costanti che vengono determinate imponendo le opportune condizioni al contorno.

Dall'equazione differenziale è possibile determinare l'andamento del momento e del taglio come:

$$M = -E_f J \frac{d^2 w}{dx^2}; \quad V = -E_f J \frac{d^3 w}{dx^3}$$

3.2.2. Soluzione per carico verticale all'estremità

La risoluzione della trave alla Winkler di lunghezza L, soggetta ad una sua estremità ad un carico verticale P perpendicolare al suo asse è stata effettuata imponendo le seguenti condizioni al contorno

$$M(0) = -E_f J \frac{d^2 w}{dx^2} \Big|_{x=0} = 0$$

$$M(L) = -E_f J \frac{d^2 w}{dx^2} \Big|_{x=L} = 0$$

$$V(0) = -E_f J \frac{d^3 w}{dx^3} \Big|_{x=0} = -P$$

$$V(L) = -E_f J \frac{d^3 w}{dx^3} \Big|_{x=L} = 0$$

La soluzione è stata ricavata in forma chiusa e non viene riportata per brevità. Il calcolo delle sollecitazioni viene effettuato ai quarti dello spessore dei piedritti e al loro filo interno; inoltre, l'andamento delle sollecitazioni nella soletta, viene valutato in 50 punti equamente distribuiti sulla larghezza compresa tra i due piedritti.

3.2.3. Soluzione per momento flettente all'estremità

La risoluzione della trave alla Winkler di lunghezza L, soggetta ad una sua estremità ad un momento flettente M (quindi, nel piano verticale che contiene la trave) è stata effettuata imponendo le seguenti condizioni al contorno

$$M(0) = -E_f J \frac{d^2 w}{dx^2} \Big|_{x=0} = M$$

$$M(L) = -E_f J \frac{d^2 w}{dx^2} \Big|_{x=L} = 0$$

$$V(0) = -E_f J \left. \frac{d^3 w}{dx^3} \right|_{x=0} = 0$$

$$V(L) = -E_f J \left. \frac{d^3 w}{dx^3} \right|_{x=L} = 0$$

La soluzione è stata ricavata in forma chiusa e non viene riportata per brevità. Il calcolo delle sollecitazioni viene effettuato ai quarti dello spessore dei piedritti e al loro filo interno; inoltre, l'andamento delle sollecitazioni nella soletta, viene valutato in 50 punti equamente distribuiti sulla larghezza compresa tra i due piedritti.

3.3. Criteri e definizione dell'azione sismica

L'effetto dell'azione sismica di progetto sull'opera nel suo complesso, includendo il volume significativo di terreno, la struttura di fondazione, gli elementi strutturali e non strutturali, nonché gli impianti, deve rispettare gli stati limite ultimi e di esercizio definiti al § 3.2.1 delle N.T.C., i cui requisiti di sicurezza sono indicati nel § 7.1 della norma.

Per Stato Limite di salvaguardia della Vita (SLV) si intende che l'opera a seguito del sisma subisce rotture e crolli dei componenti non strutturali e impiantistici e significativi danni di componenti strutturali, cui si associa una perdita significativa di rigidità nei confronti delle azioni orizzontali (creazione di cerniere plastiche secondo il criterio della gerarchia delle resistenze), mantenendo ancora un margine di sicurezza (resistenza e rigidità) nei confronti delle azioni verticali.

In merito alle opere interrato di cui trattasi, nel rispetto del punto § 7.9.2. delle N.T.C., essendo il muro un'opera di sostegno e rientrando tra le strutture che si muovono con il terreno (§ 7.9.2.1 delle N.T.C.), si può ritenere che la struttura debba mantenere sotto l'azione sismica un comportamento elastico; queste categorie di opere che si muovono con il terreno non subiscono le amplificazioni dell'accelerazione del suolo.

Per la definizione dell'azione sismica occorre definire il periodo di riferimento PVR in funzione dello stato limite considerato.

La vita nominale (V_N) dell'opera è stata assunta pari a 100 anni.

La classe d'uso assunta è la III.

Il periodo di riferimento (V_R) per l'azione sismica, data la vita nominale e la classe d'uso, vale:

$$V_R = V_N \cdot C_u = 150 \text{ anni}$$

Il valore di probabilità di superamento del periodo di riferimento P_{VR} , cui riferirsi per individuare l'azione sismica agente, è:

$$P_{VR}(SLV) = 10\%$$

Il periodo di ritorno dell'azione sismica T_R espresso in anni vale:

$$T_R(SLV) = - \frac{V_r}{\ln(1 - P_{vr})} = 1424 \text{ anni}$$

Dato il valore del periodo di ritorno suddetto, tramite le tabelle riportate nell'Allegato B della norma o tramite la mappatura messa a disposizione in rete dall'Istituto Nazionale di Geofisica e Vulcanologia (INGV), è possibile definire i valori di a_g , F_0 , T^*_c .

a_g → accelerazione orizzontale massima del terreno su suolo di categoria A, espressa come frazione dell'accelerazione di gravità;

F_0 → valore massimo del fattore di amplificazione dello spettro in accelerazione orizzontale;

T^*_c → periodo di inizio del tratto a velocità costante dello spettro in accelerazione orizzontale;

S → coefficiente che comprende l'effetto dell'amplificazione stratigrafica (S_s) e dell'amplificazione topografica (S_t).

Il calcolo viene eseguito con il metodo pseudostatico (N.T.C. par. 7.11.6). In queste condizioni l'azione sismica è rappresentata da una forza statica equivalente pari al prodotto delle masse per la massima accelerazione attesa.

Nelle verifiche allo SLU i valori dei coefficienti sismici orizzontali k_h e verticali k_v possono essere valutati mediante le seguenti espressioni:

$$k_h = \beta_m \frac{a_{max}}{g}; \quad k_v = \pm 0.5 \cdot k_h$$

dove : $a_{max} = S \times a_g = S_s \times S_t \times a_g$ (accelerazione massima attesa al sito);

g = accelerazione di gravità;

S_t = coefficiente di amplificazione topografica;

S_s = coefficiente di amplificazione stratigrafica;

a_g = accelerazione orizzontale massima attesa al sito di riferimento rigido.

Per muri in grado di subire spostamenti relativi rispetto al terreno, il coefficiente β_m assume i valori sotto riportati:

	Categoria di sottosuolo	
	A	B,C,D,E
	β_m	β_m
$0.2 < a_g(g) \leq 0.4$	0.31	0.31
$0.1 < a_g(g) \leq 0.2$	0.29	0.24
$a_g(g) \leq 0.1$	0.20	0.18

Per muri che non sono in grado di subire spostamenti relativi rispetto al terreno in quanto vincolati orizzontalmente come ad esempio i muri ad "U", si assume $\beta_m = 1$.

La forza totale di progetto agente sulla struttura di contenimento dal lato del terrapieno, E_d , è calcolata come (EC8-5 par.7.3.2.1, EC8-5 Appendice E p.to E.3):

$$E_d = \frac{1}{2} \gamma^* (1 \pm k_v) K \times H^2 + E_{ws} + E_{wd}$$

dove:

H = altezza del muro;

E_{ws} = la spinta statica dell'acqua;

E_{wd} = spinta idrodinamica dell'acqua;

γ^* = peso specifico del terreno;

K = coefficiente di spinta del terreno (statico + dinamico);

k_v = coefficiente sismico verticale.

Il punto di applicazione della forza dovuta alla spinta dinamica del terreno deve essere preso a metà altezza del muro, in assenza di uno studio più dettagliato che prenda in considerazione la relativa rigidezza, il tipo di movimenti, e la massa relativa della struttura di contenimento.

Nel caso di muri che sono liberi di ruotare intorno al loro piede si può assumere che la forza dinamica agisca nello stesso punto di quella statica.

Il coefficiente di spinta del terreno viene calcolato con la formula di Mononobe e Okabe:

$$K = \frac{\sin^2(\psi + \phi'_d - \theta)}{\cos\theta \cdot \sin^2\psi \cdot \sin(\psi - \theta - \delta_d) \left[1 + \sqrt{\frac{\sin(\phi'_d + \delta_d) \cdot \sin(\phi'_d - \beta - \theta)}{\sin(\psi - \theta - \delta_d) \cdot \sin(\psi + \beta)}} \right]^2}$$

valida per stati attivi con $\beta \leq \phi'_d - \theta$, oppure:

$$K = \frac{\sin^2(\psi + \phi'_d - \theta)}{\cos\theta \cdot \sin^2\psi \cdot \sin(\psi - \theta - \delta_d)}$$

valida per stati attivi con $\beta > \phi'_d - \theta$,

dove:

ϕ'_d = valore di progetto dell'angolo di resistenza a taglio del terreno;

ψ e β = angoli di inclinazione rispetto all'orizzontale, rispettivamente della parete del muro rivolta a monte e della superficie del terrapieno;

δ_d = valore di progetto dell'angolo di attrito terreno-muro.

L'angolo θ e la pressione idrodinamica E_{ws} sono definiti in funzione del livello di falda e della natura dei terreni; si distinguono i seguenti 4 casi:

- Rilevato asciutto

$$\gamma^* = \gamma_d$$

$$\tan \theta = \frac{k_h}{1 \pm k_v}$$

$$E_{wd} = 0$$

- Rilevato saturo a grana fine

$$\gamma^* = \gamma'_d$$

$$\tan \theta = \frac{\gamma^* k_h}{\gamma'_d (1 \pm k_v)}$$

$$E_{wd} = 0$$

- Rilevato saturo a grana grossa

$$\gamma^* = \gamma_d'$$

$$\tan \theta = \frac{\gamma_d}{\gamma_d' 1 \pm k_v} k_h$$

$E_{wd} = 7/12 \times k_h \gamma_w H'^2$ con H' = altezza della freatica dal piede del muro.

- Rilevato parzialmente immerso

$$\gamma_v^* = \gamma' \left(\frac{h_w}{h} \right)^2 + \gamma_d \left[1 - \left(\frac{h_w}{h} \right)^2 \right] \gamma_H^* = \begin{cases} \gamma_d & \text{se terreno a grana fine} \\ \gamma_{\text{sat}} \left(\frac{h_w}{h} \right)^2 + \gamma_d \left[1 - \left(\frac{h_w}{h} \right)^2 \right] & \text{se terreno a grana grossa} \end{cases}$$

$$\tan \theta = \frac{\gamma_H^*}{\gamma_v^*} \frac{k_h}{1 \pm k_v}$$

E_{wd} associato al tipo di terreno presente a tergo del muro.

La componente idrodinamica è considerata con la seguente distribuzione di pressione:

$$q_{wd}(z) = \pm 7/8 k_h \gamma_w (H'z)^{0.5}$$

Le forze inerziali, dovute alla massa m degli elementi strutturali e non strutturali sono valutate come:

$$F_I = m \times k_h$$

L'azione sismica è quindi rappresentata da un insieme di forze statiche orizzontali e verticali, date dal prodotto delle forze di gravità per le accelerazioni sismiche massime attese al suolo, ottenute combinando alternativamente la componente verticale agente verso l'alto o verso il basso, in modo da produrre gli effetti più sfavorevoli.

Per la determinazione di tali azioni si farà di regola riferimento alle sole masse corrispondenti ai pesi propri ed ai sovraccarichi permanenti, considerando nullo il valore quasi permanente delle masse corrispondenti ai sovraccarichi da traffico.

3.4. Combinazioni di carico

Le combinazioni di carico, considerate ai fini delle verifiche, sono stabilite in modo da garantire la sicurezza in conformità a quanto prescritto al cap. 2 delle N.T.C..

3.4.1. Combinazioni per la verifica allo SLU

Gli stati limite ultimi delle opere interrate si riferiscono allo sviluppo di meccanismi di collasso, determinati dalla mobilitazione della resistenza del terreno, e al raggiungimento della resistenza degli elementi strutturali che compongono l'opera.

Le verifiche agli stati limite ultimi devono essere eseguiti in riferimento ai seguenti stati limite:

- SLU di tipo geotecnico (GEO) e di equilibrio di corpo rigido (EQU), collasso per carico limite dell'insieme fondazione-terreno;
- SLU di tipo strutturale (STR), raggiungimento della resistenza negli elementi strutturali.

Le verifiche vengono condotte secondo l'approccio progettuale "Approccio 1" e le relative combinazioni previste:

Doc. N.	Progetto INOR	Lotto 12	Codifica Documento E E2 CL SLZ3 C0 001	Rev. A	Foglio 15 di 82
---------	------------------	-------------	---	-----------	--------------------

- combinazione 1 → (A1+M1+R1) → STR
- combinazione 2 → (A2+M2+R2) → GEO

Le combinazioni di carico di tipo A1 STR e A2 GEO vengono effettuate adottando i gruppi di azioni indicati in tabella 5.1.IV delle N.T.C. con i coefficienti parziali di sicurezza stradali indicati in tabella 5.1.V delle N.T.C. e i coefficienti di combinazione dei carichi stradali della tabella 5.1.VI delle N.T.C. presenti al capitolo 5.1.3.12 della norma.

Per quanto riguarda i coefficienti parziali per i parametri geotecnici del terreno (γ_M), si fa riferimento alla tabella 6.2.II delle N.T.C., mentre per quanto riguarda i coefficienti parziali per le verifiche agli stati limiti ultimi (γ_R) si fa riferimento alla tabella 6.5.I delle N.T.C..

Ai fini delle verifiche degli stati limiti ultimi si definiscono le seguenti combinazioni delle azioni:

- Combinazione fondamentale, impiegata per gli stati limiti ultimi SLU:

$$\gamma_{G1} \cdot G_1 + \gamma_{G2} \cdot G_2 + \gamma_{Q1} \cdot Q_{k1} + \sum_i \gamma_{Qi} \cdot \psi_{0i} \cdot Q_{ki} \Rightarrow (\Phi_d' = \Phi_k')$$

- Combinazione sismica, impiegata per gli stati limiti ultimi connessi all'azione sismica E:

$$E + G_1 + G_2 + \sum_i \psi_{2i} \cdot Q_{ki} \Rightarrow (\Phi_d' = \Phi_k')$$

- Gli effetti dell'azione sismica sono valutati tenendo conto delle masse associate ai seguenti carichi gravitazionali:

$$G_1 + G_2 + \sum_i \psi_{2i} \cdot Q_{ki}$$

3.4.2. Combinazioni per la verifica allo SLE

Le combinazioni di carico allo SLE vengono effettuate adottando i gruppi di azioni indicati in tabella 5.1.IV delle N.T.C. con i coefficienti di combinazione dei carichi stradali della tabella 5.1.VI delle N.T.C. presenti al capitolo 5.1.3.12 della norma.

Ai fini delle verifiche degli stati limiti di esercizio si definiscono le seguenti combinazioni delle azioni:

- Quasi permanente $\Rightarrow G_1 + G_2 + \psi_{21} \cdot Q_{k1} + \sum_i \psi_{2i} \cdot Q_{ki} \Rightarrow (\Phi_d' = \Phi_k')$
- Frequente $\Rightarrow G_1 + G_2 + \psi_{11} \cdot Q_{k1} + \sum_i \psi_{2i} \cdot Q_{ki} \Rightarrow (\Phi_d' = \Phi_k')$
- Rara $\Rightarrow G_1 + G_2 + Q_{k1} + \sum_i \psi_{0i} \cdot Q_{ki} \Rightarrow (\Phi_d' = \Phi_k')$

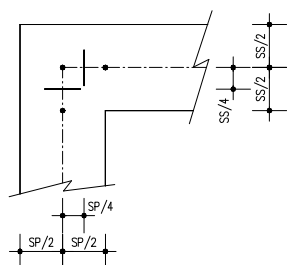
4. CRITERI DI VERIFICA

Di seguito si riportano le verifiche delle sezioni più significative e per le Combinazioni di carico risultate più critiche.

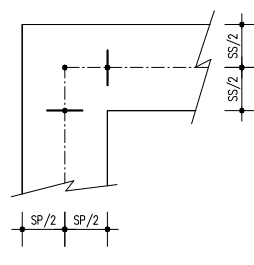
Per quanto riguarda gli incastri tra soletta e piedritti, le verifiche a flessione sono effettuate rispettivamente:

- nella sezione ubicata a metà fra asse piedritto e sezione d'attacco piedritto-soletta nel caso delle verifiche della soletta;
- nella sezione ubicata a metà fra asse soletta e sezione d'attacco del piedritto nel caso delle verifiche del piedritto.

Le verifiche a fessurazione e a taglio sono eseguite nelle sezioni di attacco soletta-piedritto.



VERIFICHE A FLESSIONE



VERIFICHE A FESSURAZIONE E TAGLIO

I calcoli di verifica sono effettuati con il metodo degli Stati Limite, applicando il combinato D. M.14.01.2008 con l'UNI EN 1992 (Eurocodice 2).

Le verifiche a taglio sono svolte considerando il puntone in cls inclinato di 45° e staffe verticali.

Le verifiche a fessurazione sono state condotte considerando:

Verifica di formazione delle fessure: la verifica si esegue per la sezione interamente reagente determinando il momento di prima fessurazione e confrontandolo con quello sollecitante; se risulta $M_{cr} < M_{Ed}$ la verifica si considera soddisfatta, altrimenti si procede alla verifica di apertura delle fessure.

Verifica di apertura delle fessure: l'apertura convenzionale delle fessure è calcolata con le modalità indicate nell'Eurocodice 2-1, come indicato dal D. M. Min. II. TT. del 14 gennaio 2008, e valutata con le sollecitazioni relative alla Combinazioni Rara della normativa vigente sui ponti ferroviari. Le massime aperture ammissibili sono:

- condizioni ambientali aggressive e molto aggressive: $w_k \leq w_3 = 0.20\text{mm}$
- condizioni ambientali ordinarie: $w_k \leq w_3 = 0.30\text{mm}$

Verifica delle tensioni di esercizio: si verifica che le tensioni di lavoro presenti nel calcestruzzo siano inferiori ai seguenti limiti:

- combinazione QP $\sigma_c < 0.40 f_{ck}$;
- combinazione Rara $\sigma_c < 0.55 f_{ck}$,

e che le tensioni di lavoro presenti nell'acciaio siano $\sigma_s < 0.75 f_{yk}$.

5. CARATTERISTICHE DEI MATERIALI

Per la realizzazione dell'opera è previsto l'impiego dei sottoelencati materiali:

5.1. Calcestruzzo per magrone

Per il magrone di sottofondazione si prevede l'utilizzo di calcestruzzo di classe Rck 15.

5.2. Calcestruzzo

Per la realizzazione delle fondazioni dei muri, si prevede l'utilizzo di calcestruzzo avente classe di resistenza C25/30 ($R_{ck} \geq 30 \text{ N/mm}^2$) che presenta le seguenti caratteristiche:

- Resistenza caratteristica a compressione (cilindrica) $\rightarrow f_{ck} = 0.83 \times R_{ck} = 24.90 \text{ N/mm}^2$
- Resistenza media a compressione $\rightarrow f_{cm} = f_{ck} + 8 = 32.90 \text{ N/mm}^2$
- Modulo elastico $\rightarrow E_{cm} = 22000 \times (f_{cm}/10)^{0.3} = 31447 \text{ N/mm}^2$
- Resistenza di calcolo a compressione $\rightarrow f_{cd} = \alpha_{cc} \times f_{ck} / \gamma_c = 0.85 * f_{ck} / 1.5 = 14.11 \text{ N/mm}^2$
- Resistenza a trazione media $\rightarrow f_{ctm} = 0.30 \times f_{ck}^{2/3} = 2.56 \text{ N/mm}^2$
- Resistenza a trazione $\rightarrow f_{ctk} = 0.7 \times f_{ctm} = 1.79 \text{ N/mm}^2$
- Resistenza a trazione di calcolo $\rightarrow f_{ctd} = f_{ctk} / \gamma_c = 1.19 \text{ N/mm}^2$
- Resistenza a compressione (comb. Rara) $\rightarrow \sigma_c = 0.55 \times f_{ck} = 13.69 \text{ N/mm}^2$
- Resistenza a compressione (comb. Quasi permanente) $\rightarrow \sigma_c = 0.40 \times f_{ck} = 9.96 \text{ N/mm}^2$

Per la realizzazione delle elevazioni dei muri, si prevede l'utilizzo di calcestruzzo avente classe di resistenza C32/40 ($R_{ck} \geq 40 \text{ N/mm}^2$) che presenta le seguenti caratteristiche:

- Resistenza caratteristica a compressione (cilindrica) $\rightarrow f_{ck} = 0.83 \times R_{ck} = 33.20 \text{ N/mm}^2$
- Resistenza media a compressione $\rightarrow f_{cm} = f_{ck} + 8 = 41.20 \text{ N/mm}^2$
- Modulo elastico $\rightarrow E_{cm} = 22000 \times (f_{cm}/10)^{0.3} = 33643 \text{ N/mm}^2$
- Resistenza di calcolo a compressione $\rightarrow f_{cd} = \alpha_{cc} \times f_{ck} / \gamma_c = 0.85 * f_{ck} / 1.5 = 18.81 \text{ N/mm}^2$
- Resistenza a trazione media $\rightarrow f_{ctm} = 0.30 \times f_{ck}^{2/3} = 3.10 \text{ N/mm}^2$
- Resistenza a trazione $\rightarrow f_{ctk} = 0.7 \times f_{ctm} = 2.169 \text{ N/mm}^2$
- Resistenza a trazione di calcolo $\rightarrow f_{ctd} = f_{ctk} / \gamma_c = 1.446 \text{ N/mm}^2$
- Resistenza a compressione (comb. Rara) $\rightarrow \sigma_c = 0.55 \times f_{ck} = 18.26 \text{ N/mm}^2$
- Resistenza a compressione (comb. Quasi permanente) $\rightarrow \sigma_c = 0.40 \times f_{ck} = 13.28 \text{ N/mm}^2$

5.3. Acciaio per cemento armato

Per le armature metalliche si adottano tondini in acciaio del tipo B450C saldabile, controllato in stabilimento e che presentano le seguenti caratteristiche:

Proprietà	Requisito
Limite di snervamento f_y	≥ 450 MPa
Limite di rottura f_t	≥ 540 MPa
Allungamento totale al carico massimo A_{gt}	$\geq 7.5\%$
Rapporto f_t/f_y	$1,15 \leq R_m/R_e \leq 1,35$
Rapporto $f_{y \text{ misurato}}/f_{y \text{ nom}}$	$\leq 1,25$

- Tensione di snervamento caratteristica $\rightarrow f_{yk} \geq 450$ N/mm²
- Tensione caratteristica a rottura $\rightarrow f_{tk} \geq 540$ N/mm²
- Tensione in condizione di esercizio (comb. Rara) $\rightarrow \sigma_s = 0.75 * f_{yk} = 337.50$ N/mm²
- Fattore di sicurezza acciaio $\rightarrow \gamma_s = 1.15$
- Resistenza a trazione di calcolo $\rightarrow f_{yd} = f_{yk} / \gamma_s = 391.30$ N/mm²

5.4. Durabilità e prescrizioni sui materiali

Per garantire la durabilità delle strutture in calcestruzzo armato ordinario, esposte all'azione dell'ambiente, si devono adottare i provvedimenti atti a limitare gli effetti di degrado indotti dall'attacco chimico, fisico e derivante dalla corrosione delle armature e dai cicli di gelo e disgelo.

Al fine di ottenere la prestazione richiesta in funzione delle condizioni ambientali, nonché per la definizione della relativa classe, si fa riferimento alle indicazioni contenute nelle Linee Guida sul calcestruzzo strutturale edite dal Servizio Tecnico Centrale del Consiglio Superiore dei Lavori Pubblici ovvero alle norme UNI EN 206-1:2006 ed UNI 11104:2004.

Per le opere della presente relazione si adotta quanto segue:

<u>Fondazione</u>	CLASSE DI ESPOSIZIONE	XC2
<u>Elevazione</u>	CLASSE DI ESPOSIZIONE	XC4 + XF1

5.5. Copriferro minimo e copriferro nominale

Al fine di preservare le armature dai fenomeni di aggressione ambientale, dovrà essere previsto un idoneo copriferro; il suo valore, misurato tra la parete interna del cassero e la generatrice dell'armatura metallica più vicina, individua il cosiddetto "copriferro nominale".

Il copriferro nominale c_{nom} è somma di due contributi, il copriferro minimo c_{min} e la tolleranza di posizionamento h . Vale pertanto: $c_{nom} = c_{min} + h$.

Considerate le condizioni ambientali dell'opera e le classi di resistenza del calcestruzzo, si adotta un copriferro nominale pari a $c_{nom} = 40$ mm per la fondazione e pari a $c_{nom} = 50$ mm e per l'elevazione.



6. PARAMETRI SISMICI

Le azioni sismiche impiegate sono rappresentative del territorio Comunale dove è ubica l'opera e risultano maggiori rispetto ai valori calcolati considerando le coordinate geografiche.

Ai fini della caratterizzazione sismica, essendo l'opera ubicata nel comune di Calcinato in provincia di Brescia, i corrispondenti valori delle caratteristiche sismiche per lo SLV (TR=1424 anni) sono i seguenti:

$$a_g = 0.230g$$

$$a_{gv} = 0.149g;$$

$$F_0 = 2.477;$$

$$T^*_c = 0.282 \text{ s};$$

Per quanto riguarda il sottosuolo su cui insiste l'opera, si assume che ricada in categoria sismica "B" e categoria topografica "T1". Il coefficiente di amplificazione stratigrafica e topografica risultano quindi:

$$S_S = 1.172$$

$$S_T = 1.0$$

L'accelerazione massima orizzontale viene valutata pari a:

$$a_{\max} (\text{SLV}) = S a_g = 1.172 \times 1.00 \times 0.230 \text{ g} = 0.270 \text{ g}$$

In base al valore dell'accelerazione ed alla categoria sismica del sottosuolo, il valore del parametro β_m è pari a:

$$\beta_m = 1.00 \quad \text{per muri ad "U"}$$

Per muri ad "U" si ottiene quindi:

$$k_h = 0.270$$

$$k_v = 0.135.$$

7. PARAMETRI GEOTECNICI

I parametri geotecnici caratteristici impiegati per caratterizzare i materiali da rilevato, sono:

- $\Phi'_k = 35^\circ$
- $\gamma_m = 20 \text{ kN/m}^3$
- $\gamma' = 10 \text{ kN/m}^3$
- $\gamma_w = 10 \text{ kN/m}^3$

I parametri geotecnici caratteristici impiegati per caratterizzare i materiali da rinterro, sono:

- $\Phi'_k = 30^\circ$
- $\gamma_m = 20 \text{ kN/m}^3$
- $\gamma' = 10 \text{ kN/m}^3$
- $\gamma_w = 10 \text{ kN/m}^3$

Per quanto riguarda il terreno di fondazione, in base alle caratteristiche geotecniche riportate nello specifico documento Rif. [1], si assumono i seguenti parametri:

- $\Phi'_k = 35^\circ$
- $\gamma_m = 19 \text{ kN/m}^3$
- $\gamma' = 9 \text{ kN/m}^3$
- $\gamma_w = 10 \text{ kN/m}^3$
- $k_w = 5000 \text{ kN/m}^3$.

8. ANALISI STRUTTURALE

8.1. Rispetto del capitolo 10.2 del D.M. 14.01.2008

L'analisi strutturale è stata svolta per via analitica secondo le usuali formule della Scienza delle Costruzioni.

8.2. Modellazione strutturale

L'analisi della struttura è stata condotta attraverso la procedura analitica con riferimento ad una porzione di lunghezza unitaria.

Il suolo viene modellato facendo ricorso all'usuale artificio delle molle elastiche alla Winkler come precedentemente illustrato nella presente relazione, con costante di sottofondo pari a $K_s = 5000 \text{ kN/m}^3$. Per quanto riguarda la rigidezza degli elementi strutturali si adottano i seguenti moduli elastici:

- $E_c = 34625 \text{ N/mm}^2$ (Per cls Rck 30);
- $E_c = 33643 \text{ N/mm}^2$ (Per cls Rck 40);

Le verifiche strutturali del piedritto vengono effettuate nelle seguenti posizioni:

- filo superiore soletta:
 - verifiche a taglio;
 - verifiche a fessurazione;
- $\frac{1}{4}$ dello spessore della soletta:
 - verifiche a flessione;
 - verifiche tensioni in esercizio.

Le verifiche strutturali della soletta di fondazione vengono effettuate nelle seguenti posizioni:

- posizione di minimo momento:
 - verifiche a flessione;
 - verifiche a fessurazione;
 - verifiche tensioni in esercizio;
- filo interno piedritto:
 - verifiche a taglio;
 - verifiche a fessurazione;
- $\frac{1}{4}$ dello spessore di base del piedritto:
 - verifiche a flessione;
 - verifiche tensioni in esercizio.



8.3. Analisi dei carichi

Nel seguente paragrafo si descrivono i carichi elementari assunti per le verifiche di resistenza in esercizio ed in presenza dell'evento sismico.

Le condizioni elementari di carico di seguito determinate saranno opportunamente combinate secondo quanto previsto dalla normativa vigente.

Per i materiali si assumono i seguenti pesi specifici:

- calcestruzzo armato: $\gamma_{c.a.} = 25 \text{ kN/m}^3$
- rilevato: $\gamma_t = 20 \text{ kN/m}^3$
- ricoprimento: $\gamma_{ric} = 20 \text{ kN/m}^3$

8.3.1. Peso proprio strutture (Load 1)

- parete $S_s \times \gamma_{c.a.}$
- soletta $S_s \times \gamma_{c.a.}$

8.3.2. Spinta del terreno (Load 2)

Il rinterro a ridosso della parete verrà realizzato tramite materiale arido di buone caratteristiche meccaniche.

Secondo quanto riportato in precedenza per il rinterro si assumono i seguenti parametri geotecnici:

$$\gamma_t = 20 \text{ kN/m}^3$$

$$\gamma_w = 10 \text{ kN/m}^3$$

$$\phi'_k = 30^\circ$$

$$\phi'_{dM1} = 30^\circ$$

$$\phi'_{dM2} = \text{artg}(\text{tg}30^\circ/1.25) = 24.791^\circ$$

	Coeff. M1 - $\gamma_m, \phi=1$	Coeff. M2 - $\gamma_m, \phi=1.25$
Spinta a riposo	0,5000	0,5807
Spinta attiva	0,3333	0,4091

La spinta orizzontale delle terre sui piedritti, in condizioni statiche, ad una generica profondità z da piano campagna è calcolata come:

$$\sigma_t(z) = k_0 [\gamma_t z - u(z)]$$

dove u(z) è la pressione dell'acqua alla profondità z da piano campagna.

8.3.3. Spinta dell'acqua (Load 3)

Nel caso in cui la falda interessi i piedritti dei muri, la pressione orizzontale alla generica profondità z da piano campagna è calcolata come:

$$u(z) = 0 \quad (\text{per } z \leq z_1)$$

$$u(z) = \gamma_w (z - z_1) \quad ((\text{per } z > z_1))$$

con z_1 profondità della falda da piano campagna.

Per i casi in esame non si considera la presenza della falda.

8.3.4. Sovraccarico accidentale in condizioni statiche e sismiche (Load 4)

La spinta orizzontale dovuta al sovraccarico accidentale è calcolata come

$$p_q = k_0 \times q$$

con q sovraccarico accidentale.

In condizioni statiche, tale sovraccarico è assunto pari a 20 kN/m^2 .

Per le pareti a sostegno delle scarpate dei rilevati, si considera un sovraccarico ridotto, pari a 10 kN/m^2 , rappresentativo degli eventuali mezzi meccanici adottati nelle operazioni di manutenzione ordinaria e straordinaria che possono transitare sulla scarpata del rilevato.

Il sovraccarico accidentale in condizioni sismiche è assunto nullo.

8.3.5. Azioni sismiche (Load 5,6,7,8)

Per tener conto dell'incremento di spinta del terreno dovuta al sisma si fa riferimento all'EC8-5, appendice E – "analisi semplificata per le strutture di contenimento" come esplicitato al capitolo 4 "Criteri di definizione dell'azione sismica". In considerazione dei valori dei coefficienti sismici orizzontali e verticali precedentemente determinati, l'angolo θ assume i seguenti valori:

Dati i seguenti parametri:

- $\Phi'_{dM1} = 30^\circ$
- $\Phi'_{dM2} = \text{artg}(\text{tg}30^\circ/1.25) = 24.791^\circ$
- $\psi = 90^\circ$;
- $\beta = 0^\circ$;
- $\delta_d = 0$;

L'angolo θ ed il relativo coefficiente di spinta del terreno (statico + dinamico) valgono:

θ_1 (sisma verso basso)	θ_2 (sisma verso alto)	$K(\theta_1) - M1$	$K(\theta_1) - M2$	$K(\theta_2) - M1$	$K(\theta_2) - M2$
13.3723	17.3205	0.5068	0.6080	0.5825	0.7027

L'azione sismica totale sulla parete, dovuta alla spinta del terreno risulta pari a:

$$E_d = \frac{1}{2} \gamma^* (1 \pm k_v) K(\theta) H^2 + E_{ws} + E_{wd}$$

con γ^* definito in precedenza in funzione della presenza della falda e del tipo di terreno, E_{ws} e E_{wd} rispettivamente pressione statica e sovrappressione idrodinamica dovuta alla presenza della falda.

La spinta complessiva E_d è composta da tre termini, ciascuno dei quali presenta un diverso punto di applicazione:

- Componente associata allo scheletro solido (Load 5):
 - la spinta sismica totale dello scheletro solido ($S_{A,E}$) è data dalla somma della spinta attiva in condizioni statiche ($S_{A,S}$) e l'incremento di spinta sismico (ΔS_A) calcolabile come $\Delta S_A = S_{A,E} - S_{A,S}$. Nel caso dei muri ad "U" per i quali la parete non è in grado di compiere grandi rotazioni alla base, il sovraccarico sismico si considera applicato uniformemente sull'altezza della parete (Load 5).
- Componente idrostatica:
 - applicata analogamente al caso statico.
- Componente idrodinamica (Load 6):
 - è applicata alla parete con la seguente distribuzione di pressioni: $q_{wd}(z) = \pm 7/8 k_h \gamma_w (H' \times z)^{0.5}$ con H' altezza della falda da asse soletta e z è la coordinata verticale diretta verso il basso, con origine al pelo libero dell'acqua. L'azione idrodinamica, se presente, è applicata con segno positivo sul piedritto di sinistra e con segno negativo su quello di destra.

La risultante delle forze inerziali orizzontali indotte dal sisma viene valutata con la seguente espressione:

- $f_h = p \times k_h$ (Load 7)
- $f_v = p \times k_v$ (Load 8)

con "p" peso proprio degli elementi strutturali.

9. COMBINAZIONI DI CARICO

Le combinazioni di carico sono effettuate combinando tra loro i singoli casi di carico come indicato dalla normativa. Per massimizzare lo sbilanciamento tra i due piedritti, i sovraccarichi accidentali e quelli sismici sono applicati solamente al piedritto sinistro.

9.1. Calcolo delle sollecitazioni

Il calcolo delle sollecitazioni nel piedritto e nella soletta viene effettuato per i seguenti 8 carichi fondamentali dai quali è possibile ricavare tutti gli altri casi di carico per rapporto diretto:

N.	Carico	Descrizione
1	PP	Peso proprio
2	$S_{A,S,k_0,M1}$	Spinta delle terre – k_0 – M1
3	E_{ws}	Spinta della falda
4	$S_{q,st,k_0,M1}$	Sovraccarico accidentale statico – k_0 – M1
5	$\Delta S_{A,M1,+}$	Sovrappinta sismica – M1 – $k_v(+)$
6	E_{wd}	Spinta idrodinamica
7	F_v	Effetti inerziali verticali (+ verso il basso)
8	F_h	Effetti inerziali orizzontali

Le sollecitazioni per ciascun caso di carico sono calcolate come segue:

N.	Carico	Descrizione	Calcolo
1	PP	Peso proprio	-
2	$S_{A,S,k_0,M1}$	Spinta delle terre – k_0 – M1	-
2a	$S_{A,S,k_0,M2}$	Spinta delle terre – k_0 – M2	$E[S_{A,S,k_0,M1}] \times k_{0,M2} / k_{0,M1}$
2b	$S_{A,S,k_a,M1}$	Spinta delle terre – k_a – M1	$E[S_{A,S,k_0,M1}] \times k_{a,M1} / k_{0,M1}$
2c	$S_{A,S,k_a,M2}$	Spinta delle terre – k_a – M2	$E[S_{A,S,k_0,M1}] \times k_{a,M2} / k_{0,M1}$
3	E_{ws}	Spinta della falda	-
4	$S_{q,st,k_0,M1}$	Sovracc. accidentale statico – k_0 – M1	-
4a	$S_{q,st,k_0,M2}$	Sovracc. accidentale statico – k_0 – M2	$E[S_{q,st,k_0,M1}] \times k_{0,M2} / k_{0,M1}$
4b	$S_{q,sis,k_a,M1}$	Sovracc. accidentale sismico – k_a – M1	$E[S_{q,st,k_0,M1}] \times (k_{a,M1} / k_{0,M1}) \times (q_{sis} / q_{st})$
4c	$S_{q,sis,k_a,M2}$	Sovracc. accidentale sismico – k_a – M2	$E[S_{q,st,k_0,M1}] \times (k_{a,M2} / k_{0,M1}) \times (q_{sis} / q_{st})$
5	$\Delta S_{A,M1,+}$	Sovrappinta sismica – M1 – $k_v(+)$	-
5a	$\Delta S_{A,M2,+}$	Sovrappinta sismica – M2 – $k_v(+)$	$E[\Delta S_{A,M1,+}] \times (\Delta S_{A,M2,+} / \Delta S_{A,M1,+})$
5b	$\Delta S_{A,M1,-}$	Sovrappinta sismica – M1 – $k_v(-)$	$E[\Delta S_{A,M1,+}] \times (\Delta S_{A,M1,-} / \Delta S_{A,M1,+})$
5c	$\Delta S_{A,M2,-}$	Sovrappinta sismica – M2 – $k_v(-)$	$E[\Delta S_{A,M1,+}] \times (\Delta S_{A,M2,-} / \Delta S_{A,M1,+})$
6	E_{wd}	Spinta idrodinamica	-
7	F_h	Effetti inerziali orizzontali	-
8	F_v	Effetti inerziali verticali (+verso il basso)	-

Dove con $E[A]$ si intende la generica sollecitazione E dovuta al carico sollecitante A.

9.2. Combinazioni SLU

C.C.	PP	STERRE k0_M1_SX	STERRE k0_M2_SX	STERRE k0_M1_DX	STERRE k0_M2_DX	FALDA_SX	FALDA_DX	SOVR. STAT. k0_M1_SX	SOVR. STAT. k0_M2_SX
LOAD	1	2	2a	2_dx	2a_dx	3	3_dx	4	4a
1_STR	1.3	1.3		1		1.3	1	1.5	
2_STR	1	1.3		1		1.3	1	1.5	
3_STR	1.3	1		1		1	1	0	
4_STR	1	1		1		1	1	0	
1_GEO	1		1		1	1	1		1.3
2_GEO	1		1		1	1	1		0

Dove si indicano con “dx” le azioni agenti sul piedritto destro.

9.3. Combinazioni SLV

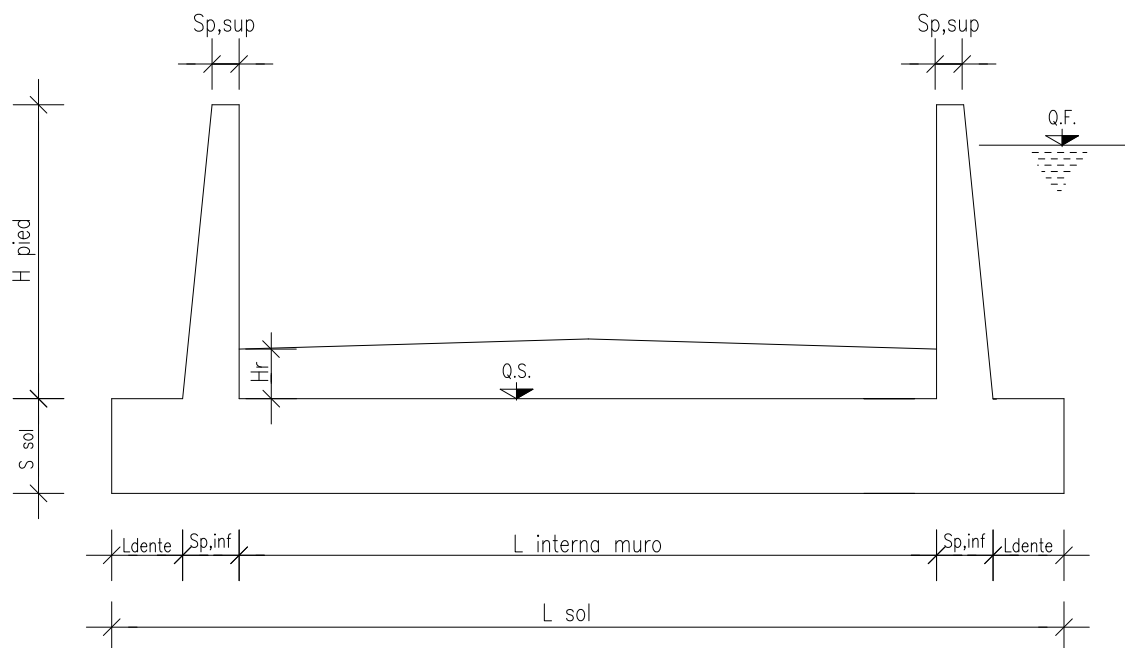
C.C.	PP	STERRE ka_M1_SX	STERRE ka_M2_SX	STERRE ka_M1_DX	STERRE ka_M2_DX	FALDA_SX	FALDA_DX	SOVR. SISMICO ka_M1_SX	SOVR. SISMICO ka_M2_SX	INCR. SISMICO BASSO_M1	INCR. SISMICO BASSO_M2	INCR. SISMICO ALTO_M1	INCR. SISMICO ALTO_M2	INCR. IDRODINAMICO	INERZIA ORIZZONTALE	INERZIA VERT (BASSO)
LOAD	1	2b	2c	2b_dx	2c_dx	3	3_dx	4b	4c	5	5a	5b	5c	6	7	8
1_STR	1	1		1		1	1	0		1				1	1	1
2_STR	1	1		1		1	1	1		1				1	1	1
3_STR	1	1		1		1	1	0				1		1	1	-1
4_STR	1	1		1		1	1	1				1		1	1	-1
1_GEO	1		1		1	1	1	0		1				1	1	1
2_GEO	1		1		1	1	1	1		1				1	1	1
3_GEO	1		1		1	1	1	0					1	1	1	-1
4_GEO	1		1		1	1	1	1					1	1	1	-1

Dove si indicano con “dx” le azioni agenti sul piedritto destro.

9.4. Combinazioni SLE

C.C.	PP	STERRE k0_M1_SX	STERRE k0_M1_DX	FALDA_SX	FALDA_DX	SOVR. STAT. k0_M1_SX
LOAD	1	2	2_dx	3	3_dx	4
1_QP	1	1	1	1	1	0
1_FR	1	1	1	1	1	0
2_FR	1	1	1	1	1	0.75
1_CAR	1	1	1	1	1	0
2_CAR	1	1	1	1	1	1

Dove si indicano con “dx” le azioni agenti sul piedritto destro.

10. MURO AD "U" - TIPOLOGIA 1 - H = 4.03M**10.1. Geometria della struttura**Dimensioni geometriche trasversali:

- L_{sol} = 6.60 m
- S_{sol} = 0.70 m
- $L_{\text{int,muro}}$ = 5.20 m
- L_{dente} = 0.00 m
- H_{pied} = 4.03 m
- Sp_{sup} = 0.30 m
- Sp_{inf} = 0.70 m
- Q.F.

La falda si trova al di sotto del piano di fondazione dei muri e pertanto non interessa la struttura.

10.2. Pressioni sul piedritto dovute ai carichi fondamentali

Si riportano di seguito le pressioni statiche e sismiche esercitate sui piedritti dal terreno, dalla falda e dall'azione sismica, per i casi di carico fondamentali.

z [m]	σ_v [kN/m ²]	σ'_v [kN/m ²]	$\sigma'_{h,k0,M1}$ [kN/m ²]	σ_w [kN/m ²]	$\sigma_{q,st,h,k0,M1}$ [kN/m ²]	$\Delta\sigma_{Ed,M1,(+)}$ [kN/m ²]	$\Delta\sigma_{idr}$ [kN/m ²]	f_h [kN/m ²]	f_v [kN/m ²]
0,000	0,000	0,000	0,000	0,000	10,000	10,567	0,000	2,023	1,012
0,201	4,020	4,020	2,010	0,000	10,000	10,567	0,000	2,159	1,079
0,402	8,040	8,040	4,020	0,000	10,000	10,567	0,000	2,295	1,147
0,603	12,060	12,060	6,030	0,000	10,000	10,567	0,000	2,430	1,215
0,804	16,080	16,080	8,040	0,000	10,000	10,567	0,000	2,566	1,283
1,005	20,100	20,100	10,050	0,000	10,000	10,567	0,000	2,701	1,351
1,206	24,120	24,120	12,060	0,000	10,000	10,567	0,000	2,837	1,418
1,407	28,140	28,140	14,070	0,000	10,000	10,567	0,000	2,972	1,486
1,608	32,160	32,160	16,080	0,000	10,000	10,567	0,000	3,108	1,554
1,809	36,180	36,180	18,090	0,000	10,000	10,567	0,000	3,244	1,622
2,010	40,200	40,200	20,100	0,000	10,000	10,567	0,000	3,379	1,690
2,211	44,220	44,220	22,110	0,000	10,000	10,567	0,000	3,515	1,757
2,412	48,240	48,240	24,120	0,000	10,000	10,567	0,000	3,650	1,825
2,613	52,260	52,260	26,130	0,000	10,000	10,567	0,000	3,786	1,893
2,814	56,280	56,280	28,140	0,000	10,000	10,567	0,000	3,921	1,961
3,015	60,300	60,300	30,150	0,000	10,000	10,567	0,000	4,057	2,028
3,216	64,320	64,320	32,160	0,000	10,000	10,567	0,000	4,193	2,096
3,417	68,340	68,340	34,170	0,000	10,000	10,567	0,000	4,328	2,164
3,618	72,360	72,360	36,180	0,000	10,000	10,567	0,000	4,464	2,232
3,819	76,380	76,380	38,190	0,000	10,000	10,567	0,000	4,599	2,300
4,030	80,400	80,400	40,200	0,000	10,000	10,567	0,000	4,735	2,367
4,195	83,900	83,900	41,950	0,000	10,000	10,567	0,000	4,853	2,426
4,370	87,400	87,400	43,700	0,000	10,000	10,567	0,000	4,971	2,485

Dove la coordinata verticale z è positiva verso il basso con l'origine posta in sommità al piedritto.

10.3. Riassunto delle sollecitazioni alla base del piedritto (in asse soletta)

Si riportano di seguito le sollecitazioni calcolate alla base del piedritto, in asse soletta, per tutti i casi di carico:

n.	LOAD CASE	N[kN]	M[kNm]	V[kN]
1	PP	56,65		
2	STERRE k0_M1		139,09	95,48
2a	STERRE K0_M2		161,53	110,89
2b	STERRE ka_M1		92,73	63,66
2c	STERRE ka_M2		113,81	78,13
3	FALDA		0,00	0,00
4	SOVR. STATICO k0_M1		95,48	43,70
4a	SOVR. STATICO k0_M2		110,89	50,75
4b	SOVR. SISMICO ka_M1		0,00	0,00
4c	SOVR. SISMICO ka_M2		0,00	0,00
5	INCR. SISMICO BASSO_M1		100,90	46,18
5a	INCR. SISMICO BASSO_M2		117,21	53,64
5b	INCR. SISMICO ALTO_M1		71,17	32,57
5c	INCR. SISMICO ALTO_M2		82,95	37,96
6	INCR. IDRODINAMICO		0,00	0,00
7	INERZIA ORIZZONTALE		33,39	15,28
8	INERZIA VERT (BASSO)	7,64		

10.4. Riassunto sollecitazioni massime piedritto

Si riportano di seguito le massime sollecitazioni calcolate per il piedritto ed adottate per le verifiche strutturali.

10.4.1. Combinazioni SLU – SLV

	CC	N [kN]	M[kNm]	V[kN]
Filo soletta _V_max	2_SLU_STR	50,35	261,96	165,34
1/4 spessore soletta _M_max	2_SLU_STR	53,46	291,94	177,31
Asse soletta _M_max	2_SLU_STR	56,65	324,04	189,68

10.4.2. Combinazioni SLE

	CC	N [kN]	M[kNm]
Filo soletta _QP	1_QP	50,35	108,27
Filo soletta _FR	2_FR	50,35	168,88
Filo soletta _CAR	2_CAR	50,35	189,08
1/4 soletta _QP	1_QP	53,46	123,04
1/4 soletta _FR	2_FR	53,46	189,03
1/4 soletta _CAR	2_CAR	53,46	211,03

10.5. Riassunto massime sollecitazioni soletta

Si riportano di seguito le massime sollecitazioni calcolate nella soletta di fondazione ed adottate per le verifiche strutturali.

10.5.1. Combinazioni SLU - SLV

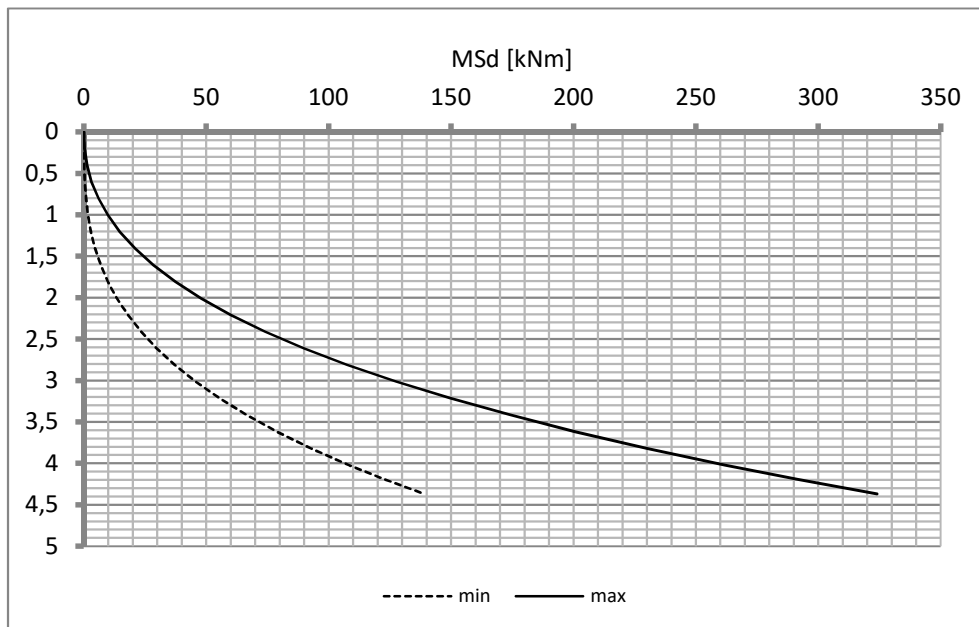
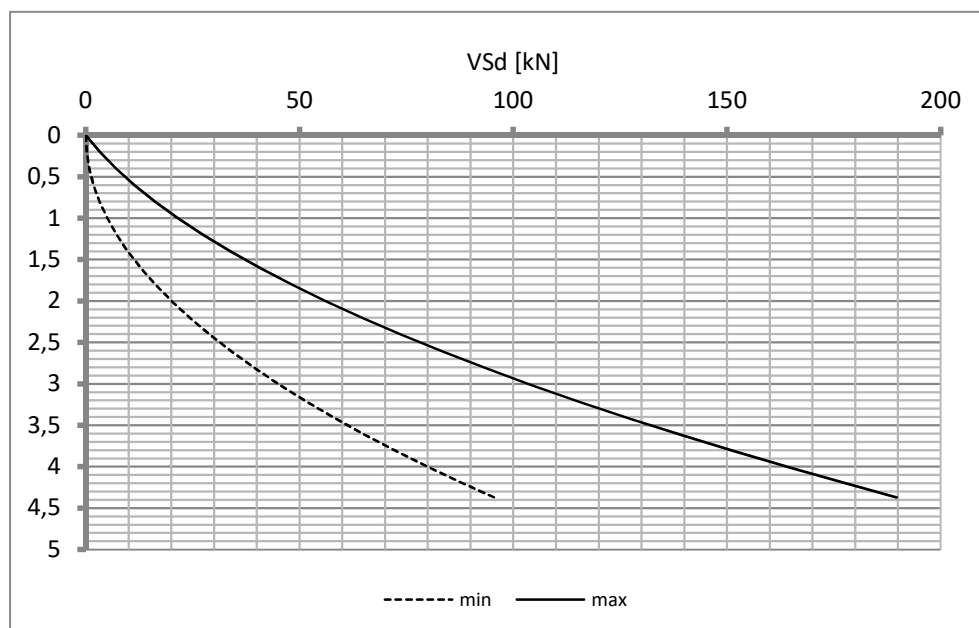
	CC	x[m]	M[kNm]	V[kN]
Filo piedritto SX_V_max	1_SLU_STR	0,663	273,782	76,982
Filo piedritto DX_V_max	3_SLU_STR	5,551	114,735	-65,112
1/4 spessore piedritto_M_max	2_SLU_STR	0,176	313,873	59,177
Asse piedritto_M_max	2_SLU_STR	0,000	324,043	56,646
Mezzeria_M_min	2_SLV_STR	4,407	13,886	-10,472

10.5.2. Combinazioni SLE

	CC	x[m]	M[kNm]
Filo piedritto_QP	1_QP	0,351	120,33
Filo piedritto_FR	2_FR	0,351	191,17
Filo piedritto_CAR	2_CAR	0,351	214,79

1/4 piedritto_QP	1_QP	0,176	129,43
1/4 piedritto_FR	2_FR	0,176	200,84
1/4 piedritto_CAR	2_CAR	0,176	224,65

Mezzeria_QP	1_QP	2,951	54,35
Mezzeria_FR	1_FR	2,951	54,35
Mezzeria_CAR	1_CAR	2,951	54,35

10.6. Diagrammi di involucro SLU-SLV**10.6.1. Piedritti**MomentoTaglio

Doc. N.

Progetto
INOR

Lotto
12

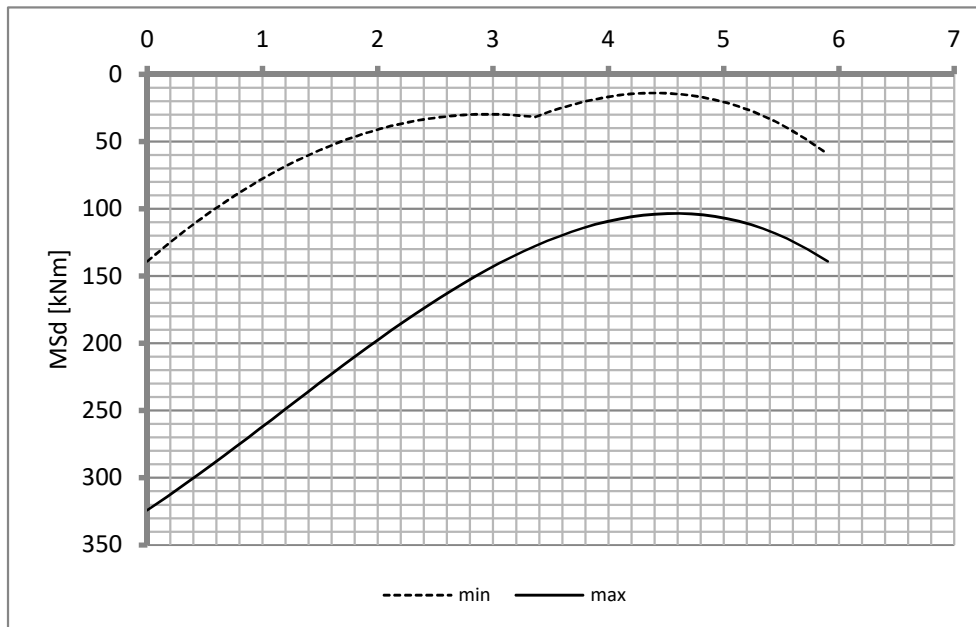
Codifica Documento
E E2 CL SLZ3 C0 001

Rev.
A

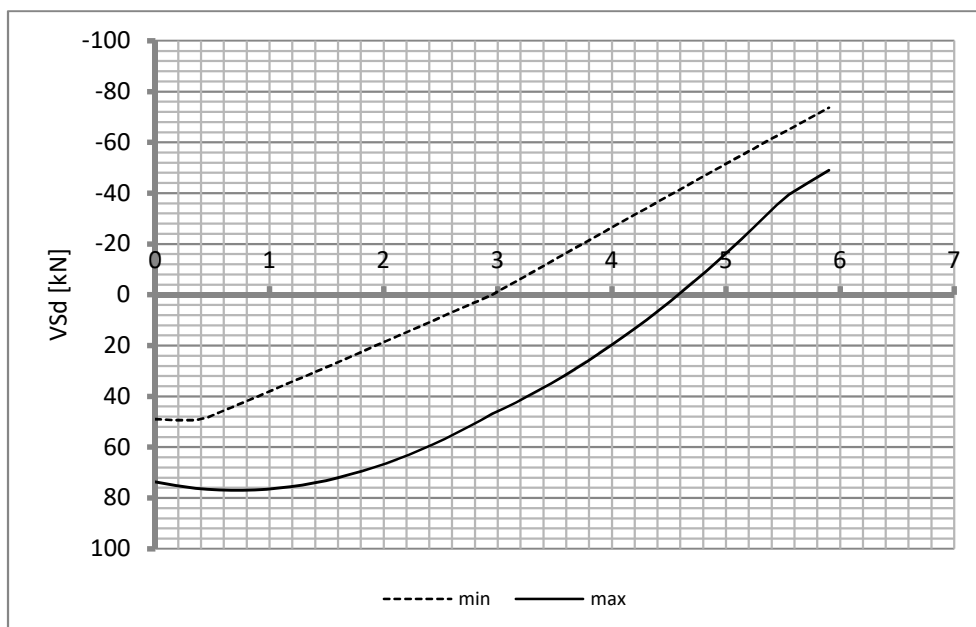
Foglio
34 di 82

10.6.2. Soletta

Momento

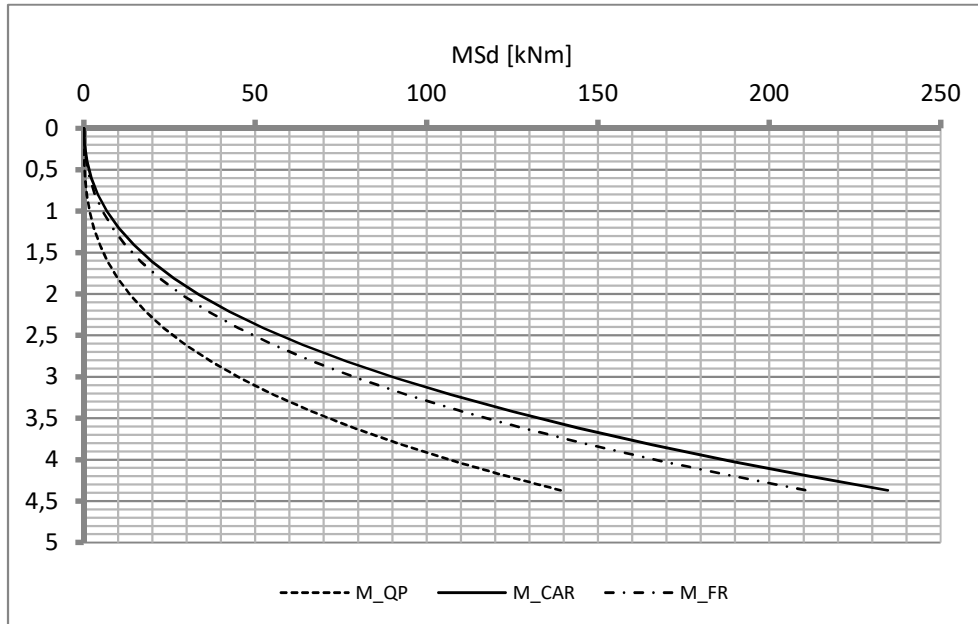


Taglio

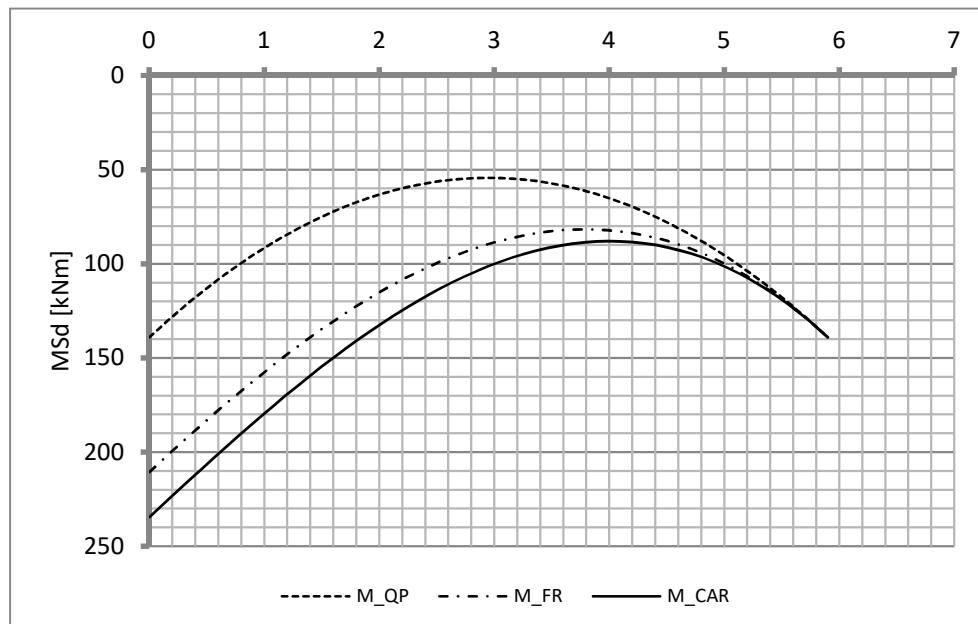


10.7. Diagrammi di involucro SLE

10.7.1. Piedritti



10.7.2. Soletta



Doc. N.

Progetto
INOR

Lotto
12

Codifica Documento
E E2 CL SLZ3 C0 001

Rev.
A

Foglio
36 di 82

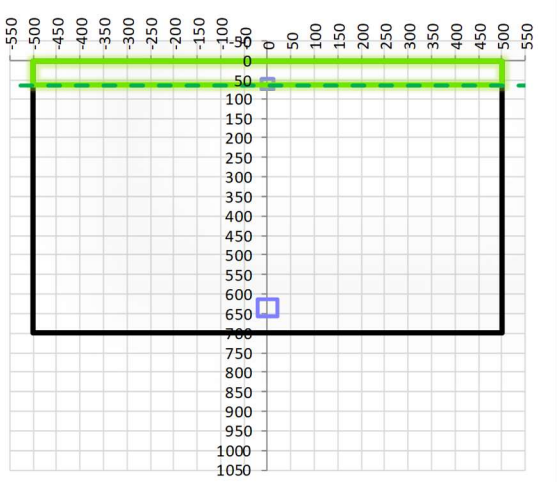
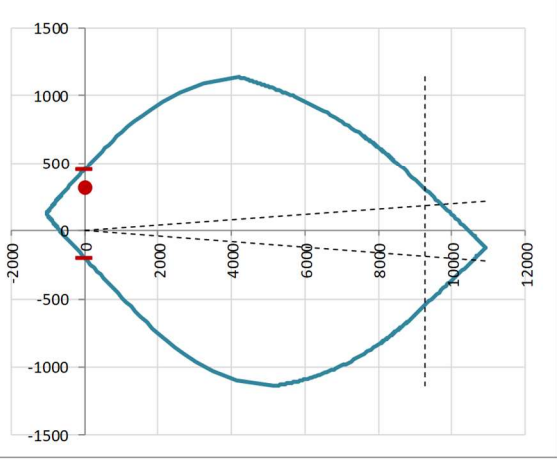
10.8. Verifiche di resistenza ultima e di esercizio

10.8.1. Soletta

CARATTERISTICHE MATERIALI				
Calcestruzzo:				
Classe	C25/30			
R_{ck}	30,00 N/mm ²			
f_{ck}	24,90 N/mm ²			
f_{cm}	32,90 N/mm ²			
f_{ctm}	2,56 N/mm ²			
$f_{ctk,0.05}$	1,79 N/mm ²			
$f_{ctk,0.95}$	3,33 N/mm ²			
f_{ctm}	3,07 N/mm ²			
E_{cm}	31447,16 N/mm ²			
ϵ_{c2}	0,200 %			
ϵ_{c3}	0,175 %			
ϵ_{c4}	0,070 %			
ϵ_{cu}	0,350 %			
n	2,000			
tipo cemento	N			
				
Acciaio:				
Classe	B450C			
Tipologia comportamentale	EL-PL			
$k = (f_t/f_y)_k$	1			
f_{yk}	450 N/mm ²			
f_{tk}	540 N/mm ²			
E_s	200000 N/mm ²			
ϵ_{su}	7,500 %			
				
Coefficiente di omogenizzazione:				
n ,breve termine	6,06 = E_s/E_c			
umidità relativa	75 %			
giorno app. carico	15 giorni			
periodo lungo termine	50 anni			
coefficiente di viscosità	2,14			
n ,lungo termine=	12,98 = E_s/E_{cm}			
n ,verifiche QP	15,0 = E_s/E_{cm}			
n ,verifiche CAR	15,0 = E_s/E_{cm}			
	lungo termine			
	breve termine			
CARATTERISTICHE SEZIONE				
Sezione:				
B=	1000 mm			
H=	700 mm			
Armature:				
Pos.	n° barre	Ø mm	y_i mm	As mm²
1	5	14	61	769,6902
2	5	22	635	1900,6636
3				0
4				0
5				0
6				0
7				0
8				0
9				0
10				0
Armatura di ripartizione:				
Pos.	n° barre	Ø mm	y_i mm	As mm²
superiore	5	14	47	769,6902
inferiore	5	14	653	769,6902
				

Viene svolta solamente la verifica della sezione di attacco al piedritto in quanto il momento tende sempre le fibre inferiori su tutta la larghezza della soletta.

10.8.1.1. Verifiche allo stato limite ultimo per flessione

CRITERI DI VERIFICA																																																																																																	
<i>Coefficienti di sicurezza allo SLU</i>																																																																																																	
Calcestruzzo																																																																																																	
α_{cc}		0,85																																																																																															
γ_c		1,50																																																																																															
f_{cd}		16,60 N/mm ²																																																																																															
$f_{ct,eff}$		2,13 N/mm ²	$=f_{ctm} / 1,2$																																																																																														
Acciaio																																																																																																	
γ_s		1,15																																																																																															
f_{yd}		391,30 N/mm ²																																																																																															
ϵ_{yd}		0,196 %																																																																																															
STATO LIMITE ULTIMO - PRESSOFLESSIONE																																																																																																	
Combinazione	frame/nodo	NSd [kN]	MSd [kNm]	NRd+ [kN]	NRd- [kN]	MRd+ [kNm]	MRd- [kNm]	MSd/MRd																																																																																									
2_SLU_STR	-	0,0	313,9	10921,92	-1044,92	451,98	-198,87	69%																																																																																									
<i>Sezione:</i>																																																																																																	
				<table style="width: 100%; border-collapse: collapse;"> <tr> <td><i>Fibre compresse</i></td> <td></td> <td style="text-align: right;"><i>Superiori</i></td> </tr> <tr> <td>$\sigma_{c,max}$</td> <td>14,11</td> <td style="text-align: right;">N/mm²</td> </tr> <tr> <td>$\sigma_{s,min}$</td> <td>-391,30</td> <td style="text-align: right;">N/mm²</td> </tr> <tr> <td>$\epsilon_{c,max}$</td> <td>0,35</td> <td style="text-align: right;">%</td> </tr> <tr> <td>$\epsilon_{s,min}$</td> <td>-3,16</td> <td style="text-align: right;">%</td> </tr> <tr> <td>d</td> <td>635,00</td> <td style="text-align: right;">mm</td> </tr> <tr> <td>x</td> <td>63,36</td> <td style="text-align: right;">mm</td> </tr> <tr> <td>x/d</td> <td>0,10</td> <td></td> </tr> </table>						<i>Fibre compresse</i>		<i>Superiori</i>	$\sigma_{c,max}$	14,11	N/mm ²	$\sigma_{s,min}$	-391,30	N/mm ²	$\epsilon_{c,max}$	0,35	%	$\epsilon_{s,min}$	-3,16	%	d	635,00	mm	x	63,36	mm	x/d	0,10																																																																	
<i>Fibre compresse</i>		<i>Superiori</i>																																																																																															
$\sigma_{c,max}$	14,11	N/mm ²																																																																																															
$\sigma_{s,min}$	-391,30	N/mm ²																																																																																															
$\epsilon_{c,max}$	0,35	%																																																																																															
$\epsilon_{s,min}$	-3,16	%																																																																																															
d	635,00	mm																																																																																															
x	63,36	mm																																																																																															
x/d	0,10																																																																																																
<i>Dominio M-N</i>																																																																																																	
				<table border="1" style="width: 100%; border-collapse: collapse;"> <thead> <tr style="background-color: #e1ecf4;"> <th>Combinazione</th> <th>fram/nodo</th> <th>NSd [kN]</th> <th>MSd [kNm]</th> </tr> </thead> <tbody> <tr style="background-color: #c6efce;"> <td>2_SLU_STR</td> <td>-</td> <td>0,0</td> <td>313,9</td> </tr> <tr><td> </td><td> </td><td> </td><td> </td></tr> <tr><td> </td><td> </td><td> </td><td> </td></tr> <tr><td> </td><td> </td><td> </td><td> </td></tr> <tr><td> </td><td> </td><td> </td><td> </td></tr> <tr><td> </td><td> </td><td> </td><td> </td></tr> <tr><td> </td><td> </td><td> </td><td> </td></tr> <tr><td> </td><td> </td><td> </td><td> </td></tr> <tr><td> </td><td> </td><td> </td><td> </td></tr> <tr><td> </td><td> </td><td> </td><td> </td></tr> <tr><td> </td><td> </td><td> </td><td> </td></tr> <tr><td> </td><td> </td><td> </td><td> </td></tr> <tr><td> </td><td> </td><td> </td><td> </td></tr> <tr><td> </td><td> </td><td> </td><td> </td></tr> <tr><td> </td><td> </td><td> </td><td> </td></tr> <tr><td> </td><td> </td><td> </td><td> </td></tr> <tr><td> </td><td> </td><td> </td><td> </td></tr> <tr><td> </td><td> </td><td> </td><td> </td></tr> <tr><td> </td><td> </td><td> </td><td> </td></tr> <tr><td> </td><td> </td><td> </td><td> </td></tr> <tr><td> </td><td> </td><td> </td><td> </td></tr> </tbody> </table>						Combinazione	fram/nodo	NSd [kN]	MSd [kNm]	2_SLU_STR	-	0,0	313,9																																																																																
Combinazione	fram/nodo	NSd [kN]	MSd [kNm]																																																																																														
2_SLU_STR	-	0,0	313,9																																																																																														

10.8.1.2. Verifiche allo stato limite ultimo per taglio

CALCESTRUZZO		
Classe calcestruzzo		C25/30
Resistenza cubica caratteristica	R _{ck}	30,00 Mpa
Resistenza cilindrica caratteristica	f _{ck}	24,9 Mpa

ACCIAIO	
Tipologia	B450C
Resistenza caratteristica allo snervamento	450 Mpa

COEFFICIENTI MATERIALE		
Coefficiente di sicurezza per il calcestruzzo	γ _c	1,50
Coefficiente riduttivo per resistenze di lunga durata	α _{cc}	0,85
Coefficiente di sicurezza per l'acciaio	γ _s	1,15

GEOMETRIA SEZIONE C.A.					
Base	b	1000 mm			
Altezza	h	700 mm			
<i>Barre tese</i>		<i>numero barre</i>	<i>diametro barre [mm]</i>	<i>copriferro in asse barra [mm]</i>	<i>Area barre [mm²]</i>
strato1		5	14	61	770
strato2		0	0	0	0
strato3		0	0	0	0
strato4		0	0	0	0
strato5		0	0	0	0
Area barre tese	A _s	770 mm ²			
Posizione della barra equivalente	c*	61 mm			

SOLLECITAZIONI		
Load Case		1_SLU_STR
Frame		-
Azione assiale (+ di compressione)	N _{Ed}	0 kN
Taglio	V _{Ed}	76,982 kN

VERIFICA RESISTENZA SEZIONE SENZA ARMATURA A TAGLIO		
Altezza utile della sezione	d	639 mm
Coefficiente	k	1,56
Rapporto di armatura longitudinale	ρ _l	0,12%
Tensione assiale media	σ _{cp}	0,00 N/mm ²
	0.2 x f _{cd}	2,82 N/mm ²
	v _{min}	0,34 N/mm ²
Resistenza al taglio minima	V _{rd,min}	217,33 kN
Resistenza al taglio senza armatura	V_{rd}	217,33 kN
Verifica		0,35 <i>Verifica soddisfatta</i>

Non è necessario prevedere armatura a taglio.

10.8.1.3. Verifiche allo stato limite di esercizio

PARAMETRI VERIFICA FESSURAZIONE								
kt=	0,40	(0,6 = azioni di breve durata; 0,4 = azioni di lunga durata)						
k ₁ =	0,80	(0,8=barre ad aderenza migliorata; 1,6= barre lisce e trefoli)						
k ₃ =	3,40	(valore raccomandato)						
k ₄ =	0,425	(valore raccomandato)						
CRITERI DI VERIFICA								
<u>Fessurazione</u>								
Condiz. Ambientali:	1	1- Ordinarie; 2- Aggressive; 3- Molto aggressive						
	Ordinarie							
Armature:	2	1-Sensibili; 2-Poco sensibili						
	Poco sensibile							
<u>Tensioni in esercizio</u>								
	Limite	Limite	$\sigma_{c,max}$	$\sigma_{s,max}$				
Combinazione	σ_c / f_{ck}	σ_s / f_{yk}	[N/mm ²]	[N/mm ²]				
Quasi Permanente	0,40	0,75	9,96	337,50				
Caratteristica	0,55	0,75	13,70	337,50				
SOLLECITAZIONI SLE (N+ di compressione)								
<u>Fessurazione</u>								
Combinazione	<i>n. combinazione</i>	<i>frame/nodo</i>	<i>N</i>	<i>M</i>	<i>w_d</i>	<i>w_{lim}</i>	<i>MO - Mf</i>	
			[kN]	[kNm]	[mm]	[mm]	[kNm]	
Caratteristica	2_CAR	-	0,0	214,8	0,293	0,300	197,54	-
<u>Tensioni in esercizio</u>								
Combinazione	<i>n. combinazione</i>	<i>nodo</i>	<i>N</i>	<i>M</i>	$\sigma_{c,min}$	$\sigma_{s,max}$	$\sigma_{s,min}$	
			[kN]	[kNm]	[N/mm ²]	[N/mm ²]	[N/mm ²]	
Quasi permanente	1_QP	-	0,0	129,4	-2,59	117,08	-23,80	Sezione parzializzata
Caratteristica	2_CAR	-	0,0	224,7	-4,49	203,21	-41,32	Sezione parzializzata

Doc. N.

Progetto
INOR

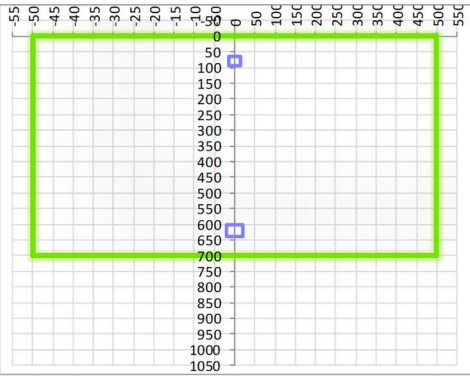
Lotto
12

Codifica Documento
E E2 CL SLZ3 C0 001

Rev.
A

Foglio
40 di 82

10.8.2. Piedritto

CARATTERISTICHE MATERIALI				
Calcestruzzo:				
Classe	C32/40			
R _{ck}	40,00 N/mm ²			
f _{ck}	33,20 N/mm ²			
f _{cm}	41,20 N/mm ²			
f _{ctm}	3,10 N/mm ²			
f _{ctk,0.05}	2,17 N/mm ²			
f _{ctk,0.95}	4,03 N/mm ²			
f _{ctm}	3,72 N/mm ²			
E _{cm}	33642,78 N/mm ²			
ε _{c2}	0,200 %			
ε _{c3}	0,175 %			
ε _{c4}	0,070 %			
ε _{cu}	0,350 %			
n	2,000			
tipo cemento	N			
				
Acciaio:				
Classe	B450C			
Tipologia comportament	EL-PL			
k = (f _t /f _y) _k	1			
f _{yk}	450 N/mm ²			
f _{tk}	540 N/mm ²			
E _s	200000 N/mm ²			
ε _{su}	7,500 %			
				
Coefficiente di omogenizzazione:				
n, breve termine	5,66 = E _s /E _c			
umidità relativa	75 %			
giorno app. carico	15 giorni			
periodo lungo termine	50 anni			
coefficiente di viscosità	1,96			
n, lungo termine =	11,07 = E _s /E _{cm}			
n, verifiche QP	15,0 = E _s /E _{cm} lungo termine			
n, verifiche CAR	15,0 = E _s /E _{cm} breve termine			
CARATTERISTICHE SEZIONE				
Sezione:				
B=	1000 mm			
H=	702 mm			
Armature:				
Pos.	n° barre	∅ mm	y _i mm	A _s mm ²
1	5	14	79	769,6902
2	5	20	620	1570,7963
3				0
4				0
5				0
6				0
7				0
8				0
9				0
10				0
				
Armatura di ripartizione:				
Pos.	n° barre	∅ mm	y _i mm	A _s mm ²
superiore	5	14	65	769,6902
inferiore	5	14	637	769,6902



Doc. N.

Progetto
INOR

Lotto
12

Codifica Documento
E E2 CL SLZ3 C0 001

Rev.
A

Foglio
41 di 82

10.8.2.1. Verifiche allo stato limite ultimo per flessione

CRITERI DI VERIFICA																																																																													
<u>Coefficienti di sicurezza allo SLU</u>																																																																													
Calcestruzzo																																																																													
α_{cc}		0,85																																																																											
γ_c		1,50																																																																											
f_{cd}		22,13 N/mm ²																																																																											
$f_{ct,eff}$		2,58 N/mm ²	= $f_{ctm} / 1,2$																																																																										
Acciaio																																																																													
γ_s		1,15																																																																											
f_{yd}		391,30 N/mm ²																																																																											
ϵ_{yd}		0,196 %																																																																											
STATO LIMITE ULTIMO - PRESSOFLESSIONE																																																																													
Combinazione	frame/nodo	NSd [kN]	MSd [kNm]	NRd+ [kN]	NRd- [kN]	MRd+ [kNm]	MRd- [kNm]	MSd/MRd																																																																					
2_SLU_STR	-	53,5	291,9	14122,80	-915,84	395,20	-227,54	74%																																																																					
<u>Sezione:</u>																																																																													
				<p><i>Fibre compresse Superiori</i></p> <p>$\sigma_{c,max}$ = 18,81 N/mm²</p> <p>$\sigma_{s,min}$ = -391,30 N/mm²</p> <p>$\epsilon_{c,max}$ = 0,35 %</p> <p>$\epsilon_{s,min}$ = -3,44 %</p> <p>d = 620,00 mm</p> <p>x = 57,28 mm</p> <p>x/d = 0,09</p>																																																																									
<u>Dominio M-N</u>				<table border="1"> <thead> <tr> <th>Combinazione</th> <th>fram/nodo</th> <th>NSd [kN]</th> <th>MSd [kNm]</th> </tr> </thead> <tbody> <tr> <td>2_SLU_STR</td> <td>-</td> <td>53,5</td> <td>291,9</td> </tr> <tr><td> </td><td> </td><td> </td><td> </td></tr> <tr><td> </td><td> </td><td> </td><td> </td></tr> <tr><td> </td><td> </td><td> </td><td> </td></tr> <tr><td> </td><td> </td><td> </td><td> </td></tr> <tr><td> </td><td> </td><td> </td><td> </td></tr> <tr><td> </td><td> </td><td> </td><td> </td></tr> <tr><td> </td><td> </td><td> </td><td> </td></tr> <tr><td> </td><td> </td><td> </td><td> </td></tr> <tr><td> </td><td> </td><td> </td><td> </td></tr> <tr><td> </td><td> </td><td> </td><td> </td></tr> <tr><td> </td><td> </td><td> </td><td> </td></tr> <tr><td> </td><td> </td><td> </td><td> </td></tr> <tr><td> </td><td> </td><td> </td><td> </td></tr> <tr><td> </td><td> </td><td> </td><td> </td></tr> <tr><td> </td><td> </td><td> </td><td> </td></tr> </tbody> </table>						Combinazione	fram/nodo	NSd [kN]	MSd [kNm]	2_SLU_STR	-	53,5	291,9																																																												
Combinazione	fram/nodo	NSd [kN]	MSd [kNm]																																																																										
2_SLU_STR	-	53,5	291,9																																																																										

10.8.2.2. Verifiche allo stato limite ultimo per taglio

CALCESTRUZZO		
Classe calcestruzzo		C32/40
Resistenza cubica caratteristica	R _{ck}	40,00 Mpa
Resistenza cilindrica caratteristica	f _{ck}	33,2 Mpa

ACCIAIO	
Tipologia	B450C
Resistenza caratteristica allo snervamento	450 Mpa

COEFFICIENTI MATERIALE		
Coefficiente di sicurezza per il calcestruzzo	γ _c	1,50
Coefficiente riduttivo per resistenze di lunga durata	α _{cc}	0,85
Coefficiente di sicurezza per l'acciaio	γ _s	1,15

GEOMETRIA SEZIONE C.A.					
Base	b	1000 mm			
Altezza	h	702 mm			
Barre tese		numero barre	diametro barre [mm]	copriferro in asse barra [mm]	Area barre [mm ²]
strato1		5	14	79	770
strato2		0	0	0	0
strato3		0	0	0	0
strato4		0	0	0	0
strato5		0	0	0	0
Area barre tese	A _s	770 mm ²			
Posizione della barra equivalente	c*	79 mm			

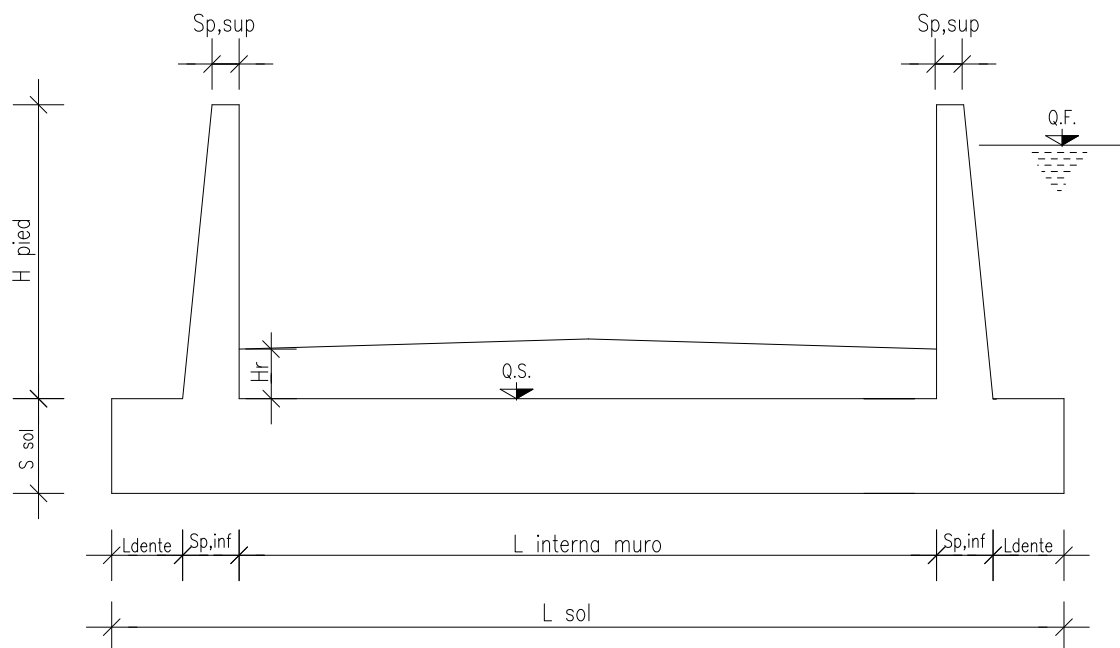
SOLLECITAZIONI		
Load Case		2_SLU_STR
Frame		-
Azione assiale (+ di compressione)	N _{Ed}	50,35 kN
Taglio	V _{Ed}	165,34 kN

VERIFICA RESISTENZA SEZIONE SENZA ARMATURA A TAGLIO		
Altezza utile della sezione	d	623 mm
Coefficiente	k	1,57
Rapporto di armatura longitudinale	ρ _l	0,12%
Tensione assiale media	σ _{cp}	0,07 N/mm ²
	0.2 x f _{cd}	3,76 N/mm ²
	v _{min}	0,40 N/mm ²
Resistenza al taglio minima	V _{rd,min}	253,06 kN
Resistenza al taglio senza armatura	V_{rd}	253,06 kN
Verifica		0,65 <i>Verifica soddisfatta</i>

Non è necessario prevedere armatura a taglio.

10.8.2.3. Verifiche allo stato limite di esercizio

PARAMETRI VERIFICA FESSURAZIONE								
kt=	0,40	(0,6 = azioni di breve durata; 0,4 = azioni di lunga durata)						
k ₁ =	0,80	(0,8=barre ad aderenza migliorata; 1,6= barre lisce e trefoli)						
k ₃ =	3,40	(valore raccomandato)						
k ₄ =	0,425	(valore raccomandato)						
CRITERI DI VERIFICA								
<u>Fessurazione</u>								
Condiz. Ambientali:	2	1- Ordinarie; 2- Aggressive; 3- Molto aggressive						
	Aggressive							
Armature:	2	1-Sensibili; 2-Poco sensibili						
	Poco sensibile							
<u>Tensioni in esercizio</u>								
	Limite	Limite	$\sigma_{c,max}$	$\sigma_{s,max}$				
Combinazione	σ_c / f_{ck}	σ_s / f_{yk}	[N/mm ²]	[N/mm ²]				
Quasi Permanente	0,40	0,75	13,28	337,50				
Caratteristica	0,55	0,75	18,26	337,50				
SOLLECITAZIONI SLE (N+ di compressione)								
<u>Fessurazione</u>								
Combinazione	<i>n. combinazione</i>	<i>frame/nodo</i>	<i>N</i>	<i>M</i>	<i>w_d</i>	<i>w_{lim}</i>	<i>M0 - Mf</i>	
			[kN]	[kNm]	[mm]	[mm]	[kNm]	
Caratteristica	2_CAR	-	50,4	189,1	Msd<Mf	0,200	239,90	-
<u>Tensioni in esercizio</u>								
Combinazione	<i>n. combinazione</i>	<i>nodo</i>	<i>N</i>	<i>M</i>	$\sigma_{c,min}$	$\sigma_{s,max}$	$\sigma_{s,min}$	
			[kN]	[kNm]	[N/mm ²]	[N/mm ²]	[N/mm ²]	
Quasi permanente	1_QP	-	53,5	123,0	-2,82	120,89	-21,52	Sezione parzializzata
Caratteristica	2_CAR	-	53,5	211,0	-4,82	219,12	-35,16	Sezione parzializzata

11. MURO AD "U" - TIPOLOGIA 2 - H = 5.32M**11.1. Geometria della struttura**Dimensioni geometriche trasversali:

- $L_{\text{sol}} = 6.69$ m
- $S_{\text{sol}} = 0.80$ m
- $L_{\text{int,muro}} = 5.00$ m
- $L_{\text{dente}} = 0.00$ m
- $H_{\text{pied}} = 5.32$ m
- $Sp_{\text{sup}} = 0.30$ m
- $Sp_{\text{inf}} = 0.83$ m
- Q.F.

La falda si trova al di sotto del piano di fondazione dei muri e pertanto non interessa la struttura.

11.2. Pressioni sul piedritto dovute ai carichi fondamentali

Si riportano di seguito le pressioni statiche e sismiche esercitate sui piedritti dal terreno, dalla falda e dall'azione sismica, per i casi di carico fondamentali.

z [m]	σ_v [kN/m ²]	σ'_v [kN/m ²]	$\sigma'_{h,k0,M1}$ [kN/m ²]	σ_w [kN/m ²]	$\sigma_{q,st,h,k0,M1}$ [kN/m ²]	$\Delta\sigma_{Ed,M1,(+)}$ [kN/m ²]	$\Delta\sigma_{idr}$ [kN/m ²]	f_h [kN/m ²]	f_v [kN/m ²]
0,000	0,000	0,000	0,000	0,000	10,000	13,832	0,000	2,023	1,012
0,266	5,320	5,320	2,660	0,000	10,000	13,832	0,000	2,203	1,101
0,532	10,640	10,640	5,320	0,000	10,000	13,832	0,000	2,382	1,191
0,798	15,960	15,960	7,980	0,000	10,000	13,832	0,000	2,562	1,281
1,064	21,280	21,280	10,640	0,000	10,000	13,832	0,000	2,741	1,371
1,330	26,600	26,600	13,300	0,000	10,000	13,832	0,000	2,920	1,460
1,596	31,920	31,920	15,960	0,000	10,000	13,832	0,000	3,100	1,550
1,862	37,240	37,240	18,620	0,000	10,000	13,832	0,000	3,279	1,640
2,128	42,560	42,560	21,280	0,000	10,000	13,832	0,000	3,459	1,729
2,394	47,880	47,880	23,940	0,000	10,000	13,832	0,000	3,638	1,819
2,660	53,200	53,200	26,600	0,000	10,000	13,832	0,000	3,818	1,909
2,926	58,520	58,520	29,260	0,000	10,000	13,832	0,000	3,997	1,998
3,192	63,840	63,840	31,920	0,000	10,000	13,832	0,000	4,176	2,088
3,458	69,160	69,160	34,580	0,000	10,000	13,832	0,000	4,356	2,178
3,724	74,480	74,480	37,240	0,000	10,000	13,832	0,000	4,535	2,268
3,990	79,800	79,800	39,900	0,000	10,000	13,832	0,000	4,715	2,357
4,256	85,120	85,120	42,560	0,000	10,000	13,832	0,000	4,894	2,447
4,522	90,440	90,440	45,220	0,000	10,000	13,832	0,000	5,073	2,537
4,788	95,760	95,760	47,880	0,000	10,000	13,832	0,000	5,253	2,626
5,054	101,080	101,080	50,540	0,000	10,000	13,832	0,000	5,432	2,716
5,320	106,400	106,400	53,200	0,000	10,000	13,832	0,000	5,612	2,806
5,520	110,400	110,400	55,200	0,000	10,000	13,832	0,000	5,747	2,873
5,720	114,400	114,400	57,200	0,000	10,000	13,832	0,000	5,881	2,941

Dove la coordinata verticale z è positiva verso il basso con l'origine posta in sommità al piedritto.

11.3. Riassunto delle sollecitazioni alla base del piedritto (in asse soletta)

Si riportano di seguito le sollecitazioni calcolate alla base del piedritto, in asse soletta, per tutti i casi di carico:

n.	LOAD CASE	N[kN]	M[kNm]	V[kN]
1	PP	83,80		
2	STERRE k0_M1		311,92	163,59
2a	STERRE K0_M2		362,25	189,99
2b	STERRE ka_M1		207,94	109,06
2c	STERRE ka_M2		255,23	133,86
3	FALDA		0,00	0,00
4	SOVR. STATICO k0_M1		163,59	57,20
4a	SOVR. STATICO k0_M2		189,99	66,43
4b	SOVR. SISMICO ka_M1		0,00	0,00
4c	SOVR. SISMICO ka_M2		0,00	0,00
5	INCR. SISMICO BASSO_M1		226,27	79,12
5a	INCR. SISMICO BASSO_M2		262,84	91,90
5b	INCR. SISMICO ALTO_M1		159,59	55,80
5c	INCR. SISMICO ALTO_M2		186,02	65,04
6	INCR. IDRODINAMICO		0,00	0,00
7	INERZIA ORIZZONTALE		64,66	22,61
8	INERZIA VERT (BASSO)	11,30		

11.4. Riassunto sollecitazioni massime piedritto

Si riportano di seguito le massime sollecitazioni calcolate per il piedritto ed adottate per le verifiche strutturali.

11.4.1. Combinazioni SLU – SLV

	CC	N [kN]	M[kNm]	V[kN]
Filo soletta _V_max	2_SLU_STR	75,28	538,50	263,77
1/4 spessore soletta _M_max	2_SLU_STR	79,49	592,95	280,86
Asse soletta _M_max	2_SLU_STR	83,80	650,88	298,47

11.4.2. Combinazioni SLE

	CC	N [kN]	M[kNm]
Filo soletta _QP	1_QP	75,28	250,95
Filo soletta _FR	2_FR	75,28	357,08
Filo soletta _CAR	2_CAR	75,28	392,46
1/4 soletta _QP	1_QP	79,49	280,33
1/4 soletta _FR	2_FR	79,49	394,59
1/4 soletta _CAR	2_CAR	79,49	432,68

11.5. Riassunto massime sollecitazioni soletta

Si riportano di seguito le massime sollecitazioni calcolate nella soletta di fondazione ed adottate per le verifiche strutturali.

11.5.1. Combinazioni SLU - SLV

	CC	x[m]	M[kNm]	V[kN]
Filo piedritto SX_V_max	1_SLU_STR	1,116	518,479	123,317
Filo piedritto DX_V_max	3_SLU_STR	5,416	269,688	-94,023
1/4 spessore piedritto_M_max	2_SLU_STR	0,208	632,718	90,638
Asse piedritto_M_max	2_SLU_STR	0,000	650,878	83,798
Mezzeria_M_min	2_SLV_STR	4,716	90,794	-16,470

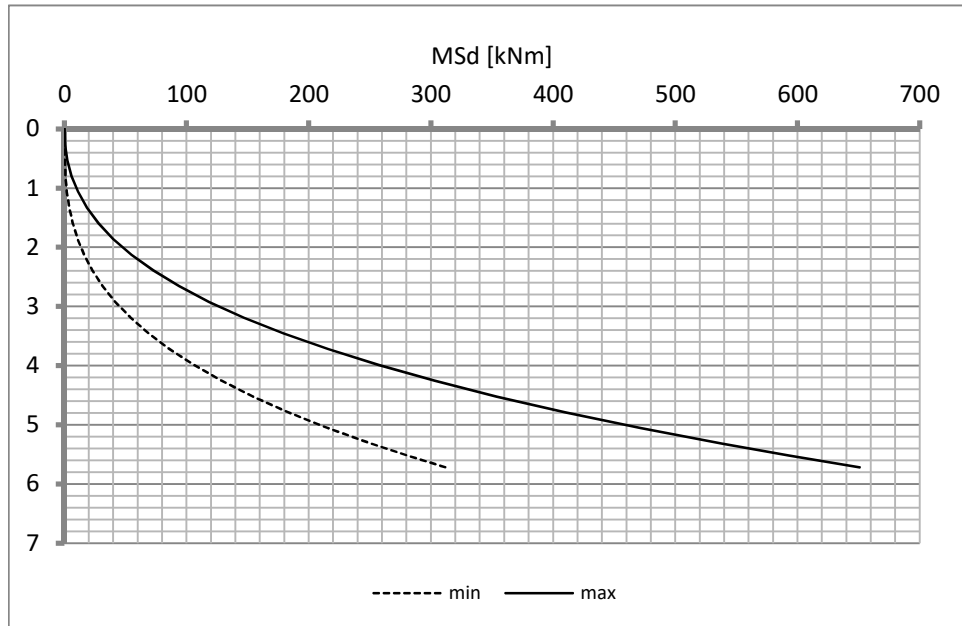
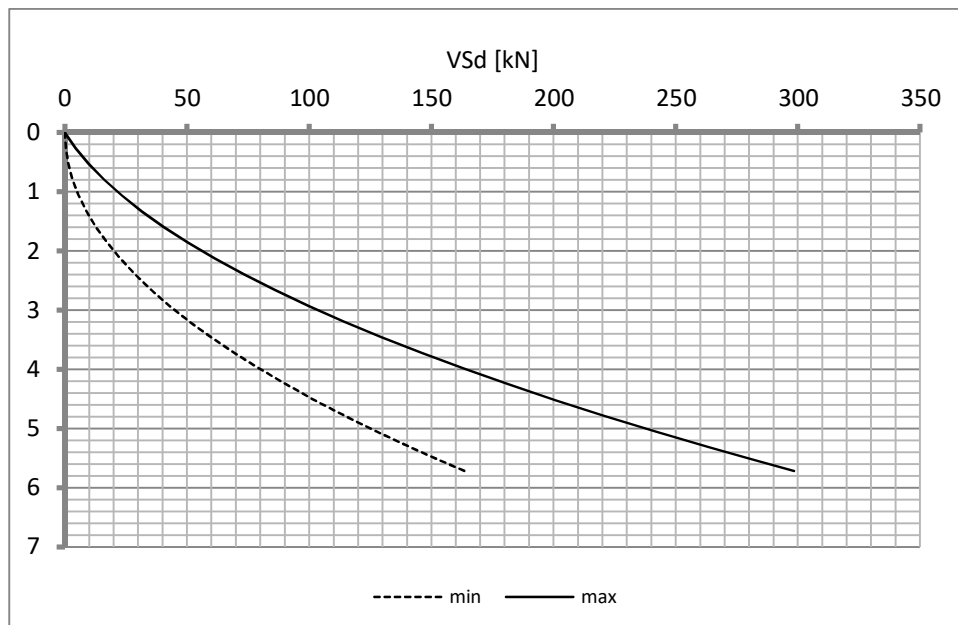
11.5.2. Combinazioni SLE

	CC	x[m]	M[kNm]
Filo piedritto_QP	1_QP	0,416	279,38
Filo piedritto_FR	2_FR	0,416	400,23
Filo piedritto_CAR	2_CAR	0,416	440,51

1/4 piedritto_QP	1_QP	0,208	295,06
1/4 piedritto_FR	2_FR	0,208	417,28
1/4 piedritto_CAR	2_CAR	0,208	458,02

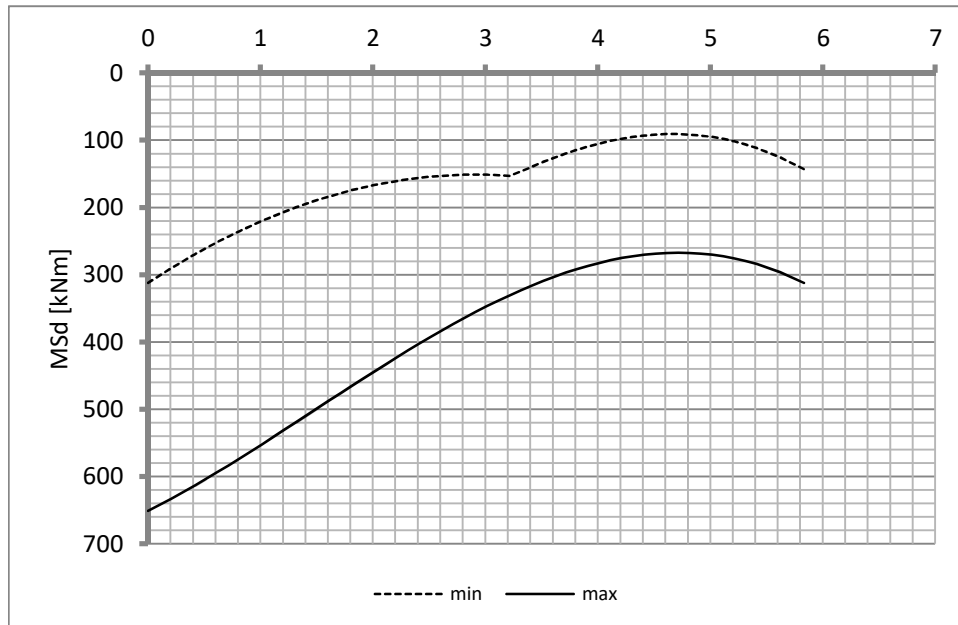
Mezzeria_QP	1_QP	2,916	187,45
Mezzeria_FR	1_FR	2,916	187,45
Mezzeria_CAR	1_CAR	2,916	187,45

Doc. N.

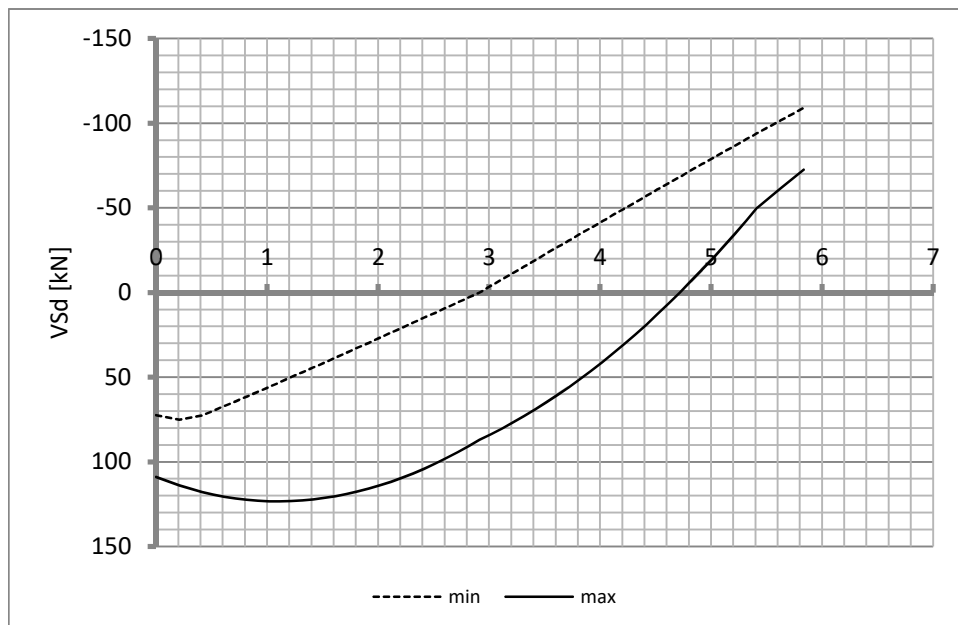
Progetto
INORLotto
12Codifica Documento
E E2 CL SLZ3 C0 001Rev.
AFoglio
49 di 82**11.6. Diagrammi di involucro SLU-SLV****11.6.1. Piedritti**MomentoTaglio

11.6.2. Soletta

Momento

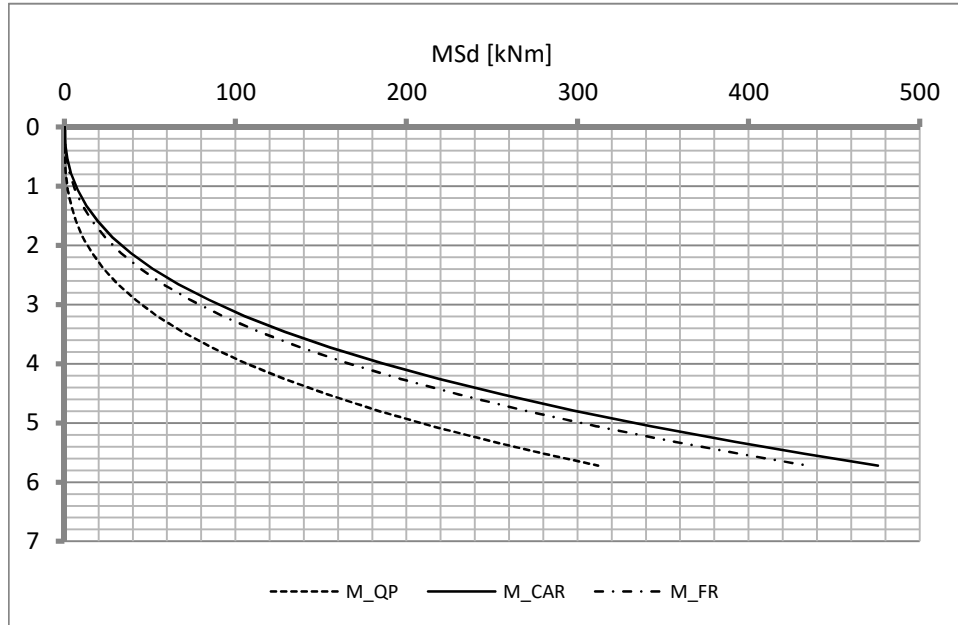


Taglio

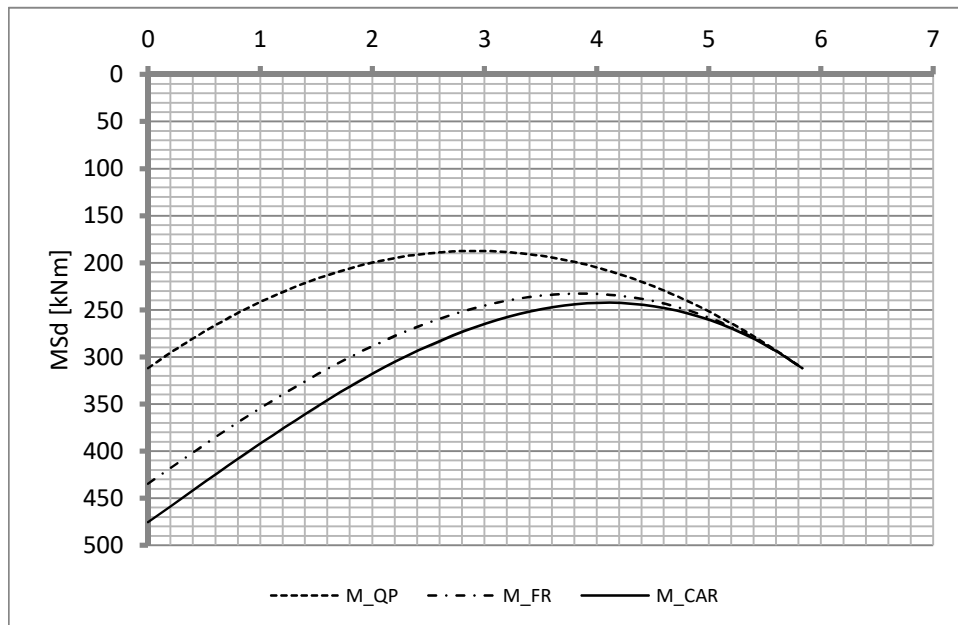


11.7. Diagrammi di involuppo SLE

11.7.1. Piedritti



11.7.2. Soletta



Doc. N.

Progetto
INOR

Lotto
12

Codifica Documento
E E2 CL SLZ3 C0 001

Rev.
A

Foglio
52 di 82

11.8. Verifiche di resistenza ultima e di esercizio

11.8.1. Soletta

Calcestruzzo:

Classe	C25/30
R_{ck}	30,00 N/mm ²
f_{ck}	24,90 N/mm ²
f_{cm}	32,90 N/mm ²
f_{ctm}	2,56 N/mm ²
$f_{ctk,0.05}$	1,79 N/mm ²
$f_{ctk,0.95}$	3,33 N/mm ²
f_{ctm}	3,07 N/mm ²
E_{cm}	31447,16 N/mm ²
ϵ_{c2}	0,200 %
ϵ_{c3}	0,175 %
ϵ_{c4}	0,070 %
ϵ_{cu}	0,350 %
n	2,000
tipo cemento	N



Acciaio:

Classe	B450C
Tipologia comportamento	EL-PL
$k = (f_t/f_y)_k$	1
f_{yk}	450 N/mm ²
f_{tk}	540 N/mm ²
E_s	200000 N/mm ²
ϵ_{su}	7,500 %



Coefficiente di omogenizzazione:

n, breve termine	6,06 = E_s/E_c	
umidità relativa	75 %	
giorno app. carico	15 giorni	
periodo lungo termine	50 anni	
coefficiente di viscosità	2,13	
n, lungo termine =	12,90 = E_s/E_{cm}	
n, verifiche QP	15,0 = E_s/E_{cm}	lungo termine
n, verifiche CAR	15,0 = E_s/E_{cm}	breve termine

CARATTERISTICHE SEZIONE

Sezione:

B=	1000 mm
H=	800 mm

Armature:

Pos.	n° barre	∅ mm	yi mm	As mm ²
1	5	16	64	1005,3096
2	5	26	731	2654,6458
3	5	16	684	1005,3096
4				0
5				0
6				0
7				0
8				0
9				0
10				0



Armatura di ripartizione:

Pos.	n° barre	∅ mm	yi mm	As mm ²
superiore	5	16	48	1005,3096
inferiore	5	16	752	1005,3096

Viene svolta solamente la verifica della sezione di attacco al piedritto in quanto il momento tende sempre le fibre inferiori su tutta la larghezza della soletta.

11.8.1.1. Verifiche allo stato limite ultimo per flessione

CRITERI DI VERIFICA																																																					
Coefficienti di sicurezza allo SLU																																																					
Calcestruzzo																																																					
α_{cc}		0,85																																																			
γ_c		1,50																																																			
f_{cd}		16,60 N/mm ²																																																			
$f_{ct,eff}$		2,13 N/mm ²	= $f_{ctm} / 1,2$																																																		
Acciaio																																																					
γ_s		1,15																																																			
f_{yd}		391,30 N/mm ²																																																			
ϵ_{yd}		0,196 %																																																			
STATO LIMITE ULTIMO - PRESSOFLESSIONE																																																					
Combinazione	frame/nodo	NSd [kN]	MSd [kNm]	NRd+ [kN]	NRd- [kN]	MRd+ [kNm]	MRd- [kNm]	MSd/MRd																																													
2_SLU_STR	-	0,0	632,7	13113,54	-1825,54	961,82	-312,63	66%																																													
Sezione:																																																					
				Fibre compresse $\sigma_{c,max} = 14,11$ N/mm ² $\sigma_{s,min} = -391,30$ N/mm ² $\epsilon_{c,max} = 0,35$ % $\epsilon_{s,min} = -2,15$ % d = 731,00 mm x = 102,31 mm x/d = 0,14		Superiori $\sigma_{c,max} = 14,11$ N/mm ² $\sigma_{s,min} = -391,30$ N/mm ² $\epsilon_{c,max} = 0,35$ % $\epsilon_{s,min} = -2,15$ % d = 731,00 mm x = 102,31 mm x/d = 0,14																																															
Dominio M-N																																																					
				<table border="1" style="width: 100%; border-collapse: collapse;"> <thead> <tr style="background-color: #d9ead3;"> <th>Combinazione</th> <th>fram/nodo</th> <th>NSd [kN]</th> <th>MSd [kNm]</th> </tr> </thead> <tbody> <tr style="background-color: #d9ead3;"> <td>2_SLU_STR</td> <td style="text-align: center;">-</td> <td>0,0</td> <td>632,7</td> </tr> <tr><td> </td><td> </td><td> </td><td> </td></tr> <tr><td> </td><td> </td><td> </td><td> </td></tr> <tr><td> </td><td> </td><td> </td><td> </td></tr> <tr><td> </td><td> </td><td> </td><td> </td></tr> <tr><td> </td><td> </td><td> </td><td> </td></tr> <tr><td> </td><td> </td><td> </td><td> </td></tr> <tr><td> </td><td> </td><td> </td><td> </td></tr> <tr><td> </td><td> </td><td> </td><td> </td></tr> <tr><td> </td><td> </td><td> </td><td> </td></tr> </tbody> </table>						Combinazione	fram/nodo	NSd [kN]	MSd [kNm]	2_SLU_STR	-	0,0	632,7																																				
Combinazione	fram/nodo	NSd [kN]	MSd [kNm]																																																		
2_SLU_STR	-	0,0	632,7																																																		

11.8.1.2. Verifiche allo stato limite ultimo per taglio

CALCESTRUZZO		
Classe calcestruzzo		C25/30
Resistenza cubica caratteristica	R _{ck}	30,00 Mpa
Resistenza cilindrica caratteristica	f _{ck}	24,9 Mpa

ACCIAIO	
Tipologia	B450C
Resistenza caratteristica allo snervamento	450 Mpa

COEFFICIENTI MATERIALE		
Coefficiente di sicurezza per il calcestruzzo	γ _c	1,50
Coefficiente riduttivo per resistenze di lunga durata	α _{cc}	0,85
Coefficiente di sicurezza per l'acciaio	γ _s	1,15

GEOMETRIA SEZIONE C.A.					
Base	b	1000 mm			
Altezza	h	800 mm			
<i>Barre tese</i>		<i>numero barre</i>	<i>diametro barre [mm]</i>	<i>copriferro in asse barra [mm]</i>	<i>Area barre [mm²]</i>
strato1		5	16	64	1005
strato2		0	0	0	0
strato3		0	0	0	0
strato4		0	0	0	0
strato5		0	0	0	0
Area barre tese	A _s	1005 mm ²			
Posizione della barra equivalente	c*	64 mm			

SOLLECITAZIONI		
Load Case		1_SLU_STR
Frame		-
Azione assiale (+ di compressione)	N _{Ed}	0 kN
Taglio	V _{Ed}	123,317 kN

VERIFICA RESISTENZA SEZIONE SENZA ARMATURA A TAGLIO		
Altezza utile della sezione	d	736 mm
Coefficiente	k	1,52
Rapporto di armatura longitudinale	ρ _l	0,14%
Tensione assiale media	σ _{cp}	0,00 N/mm ²
	0.2 x f _{cd}	2,82 N/mm ²
	v _{min}	0,33 N/mm ²
Resistenza al taglio minima	V _{rd,min}	241,19 kN
Resistenza al taglio senza armatura	V_{rd}	241,19 kN
Verifica		0,51 <i>Verifica soddisfatta</i>

Non è necessario prevedere armatura a taglio.

11.8.1.3. Verifiche allo stato limite di esercizio

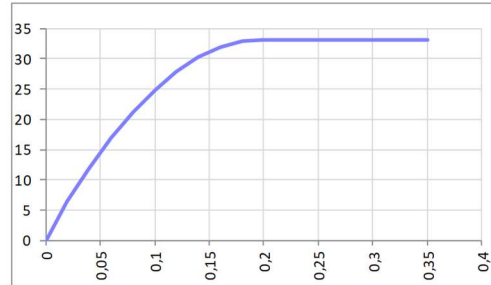
PARAMETRI VERIFICA FESSURAZIONE								
kt=	0,40	(0,6 = azioni di breve durata; 0,4 = azioni di lunga durata)						
k ₁ =	0,80	(0,8=barre ad aderenza migliorata; 1,6= barre lisce e trefoli)						
k ₃ =	3,40	(valore raccomandato)						
k ₄ =	0,425	(valore raccomandato)						
CRITERI DI VERIFICA								
<u>Fessurazione</u>								
Condiz. Ambientali:	1	1- Ordinarie; 2- Aggressive; 3- Molto aggressive						
	Ordinarie							
Armature:	2	1-Sensibili; 2-Poco sensibili						
	Poco sensibile							
<u>Tensioni in esercizio</u>								
	Limite	Limite	$\sigma_{c,max}$	$\sigma_{s,max}$				
Combinazione	σ_c / f_{ck}	σ_s / f_{yk}	[N/mm ²]	[N/mm ²]				
Quasi Permanente	0,40	0,75	9,96	337,50				
Caratteristica	0,55	0,75	13,70	337,50				
SOLLECITAZIONI SLE (N+ di compressione)								
<u>Fessurazione</u>								
Combinazione	<i>n. combinazione</i>	<i>frame/nodo</i>	<i>N</i>	<i>M</i>	<i>w_d</i>	<i>w_{lim}</i>	<i>MO - Mf</i>	
			[kN]	[kNm]	[mm]	[mm]	[kNm]	
Caratteristica	2_CAR	-	0,0	440,5	0,255	0,300	275,05	-
<u>Tensioni in esercizio</u>								
Combinazione	<i>n. combinazione</i>	<i>nodo</i>	<i>N</i>	<i>M</i>	$\sigma_{c,min}$	$\sigma_{s,max}$	$\sigma_{s,min}$	
			[kN]	[kNm]	[N/mm ²]	[N/mm ²]	[N/mm ²]	
Quasi permanente	1_QP	-	0,0	295,1	-3,74	128,12	-40,01	Sezione parzializzata
Caratteristica	2_CAR	-	0,0	458,0	-5,81	198,88	-62,10	Sezione parzializzata

11.8.2. Piedritto

CARATTERISTICHE MATERIALI

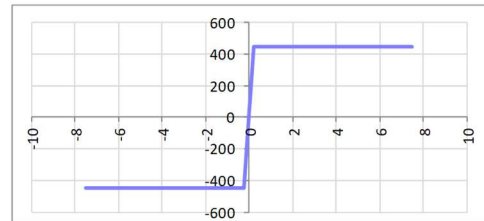
Calcestruzzo:

Classe	C32/40
R_{ck}	40,00 N/mm ²
f_{ck}	33,20 N/mm ²
f_{cm}	41,20 N/mm ²
f_{ctm}	3,10 N/mm ²
$f_{ctk,0.05}$	2,17 N/mm ²
$f_{ctk,0.95}$	4,03 N/mm ²
f_{ctm}	3,72 N/mm ²
E_{cm}	33642,78 N/mm ²
ϵ_{c2}	0,200 %
ϵ_{c3}	0,175 %
ϵ_{c4}	0,070 %
ϵ_{cu}	0,350 %
n	2,000
tipo cemento	N



Acciaio:

Classe	B450C
Tipologia comportamentale	EL-PL
$k = (f_t/f_y)_k$	1
f_{yk}	450 N/mm ²
f_{tk}	540 N/mm ²
E_s	200000 N/mm ²
ϵ_{su}	7,500 %



Coefficiente di omogeneizzazione:

n, breve termine	5,66 = E_s/E_c	
umidità relativa	75 %	
giorno app. carico	15 giorni	
periodo lungo termine	50 anni	
coefficiente di viscosità	1,94	
n , lungo termine =	10,98 = E_s/E_{cm}	
n , verifiche QP	15,0 = E_s/E_{cm}	lungo termine
n , verifiche CAR	15,0 = E_s/E_{cm}	breve termine

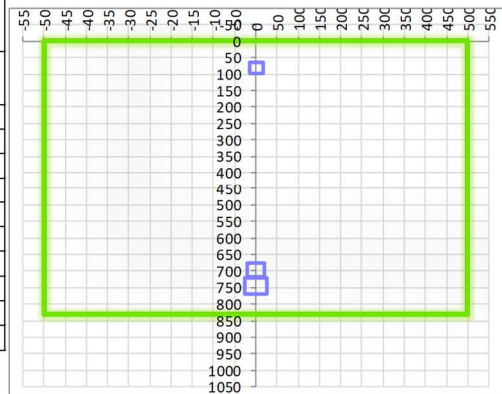
CARATTERISTICHE SEZIONE

Sezione:

B=	1000 mm
H=	832 mm

Armature:

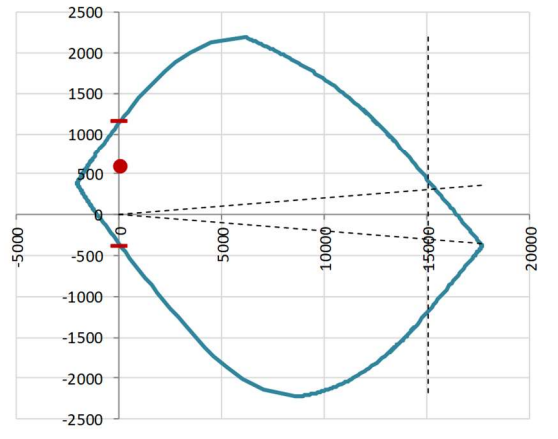
Pos.	n° barre	∅ mm	y_i mm	A_s mm ²
1	5	16	82	1005,3096
2	5	26	745	2654,6458
3	5	20	696	1570,7963
4				0
5				0
6				0
7				0
8				0
9				0
10				0



Armatura di ripartizione:

Pos.	n° barre	∅ mm	y_i mm	A_s mm ²
superiore	5	16	66	1005,3096
inferiore	5	16	766	1005,3096

11.8.2.1. Verifiche allo stato limite ultimo per flessione

CRITERI DI VERIFICA																																																					
<i>Coefficienti di sicurezza allo SLU</i>																																																					
Calcestruzzo																																																					
α_{cc}	0,85																																																				
γ_c	1,50																																																				
f_{cd}	22,13 N/mm ²																																																				
$f_{ct,eff}$	2,58 N/mm ²	= $f_{ctm} / 1,2$																																																			
Acciaio																																																					
γ_s	1,15																																																				
f_{yd}	391,30 N/mm ²																																																				
ϵ_{yd}	0,196 %																																																				
STATO LIMITE ULTIMO - PRESSOFLESSIONE																																																					
Combinazione	frame/nodo	NSd [kN]	MSd [kNm]	NRd+ [kN]	NRd- [kN]	MRd+ [kNm]	MRd- [kNm]	MSd/MRd																																													
2_SLU_STR	-	79,5	593,0	17699,51	-2046,82	1154,02	-382,78	51%																																													
<i>Sezione:</i>																																																					
				Fibre compresse Superiori $\sigma_{c,max}$ = 18,81 N/mm ² $\sigma_{s,min}$ = -391,30 N/mm ² $\epsilon_{c,max}$ = 0,35 % $\epsilon_{s,min}$ = -2,16 % d = 745,00 mm x = 104,01 mm x/d = 0,14																																																	
<i>Dominio M-N</i>																																																					
				<table border="1" style="width: 100%; border-collapse: collapse;"> <thead> <tr style="background-color: #e1eef6;"> <th>Combinazione</th> <th>fram/nodo</th> <th>NSd [kN]</th> <th>MSd [kNm]</th> </tr> </thead> <tbody> <tr style="background-color: #d9ead3;"> <td>2_SLU_STR</td> <td>-</td> <td>79,5</td> <td>593,0</td> </tr> <tr><td> </td><td> </td><td> </td><td> </td></tr> <tr><td> </td><td> </td><td> </td><td> </td></tr> <tr><td> </td><td> </td><td> </td><td> </td></tr> <tr><td> </td><td> </td><td> </td><td> </td></tr> <tr><td> </td><td> </td><td> </td><td> </td></tr> <tr><td> </td><td> </td><td> </td><td> </td></tr> <tr><td> </td><td> </td><td> </td><td> </td></tr> <tr><td> </td><td> </td><td> </td><td> </td></tr> <tr><td> </td><td> </td><td> </td><td> </td></tr> </tbody> </table>						Combinazione	fram/nodo	NSd [kN]	MSd [kNm]	2_SLU_STR	-	79,5	593,0																																				
Combinazione	fram/nodo	NSd [kN]	MSd [kNm]																																																		
2_SLU_STR	-	79,5	593,0																																																		

11.8.2.2. Verifiche allo stato limite ultimo per taglio

CALCESTRUZZO		
Classe calcestruzzo		C32/40
Resistenza cubica caratteristica	R _{ck}	40,00 Mpa
Resistenza cilindrica caratteristica	f _{ck}	33,2 Mpa

ACCIAIO	
Tipologia	B450C
Resistenza caratteristica allo snervamento	450 Mpa

COEFFICIENTI MATERIALE		
Coefficiente di sicurezza per il calcestruzzo	γ _c	1,50
Coefficiente riduttivo per resistenze di lunga durata	α _{cc}	0,85
Coefficiente di sicurezza per l'acciaio	γ _s	1,15

GEOMETRIA SEZIONE C.A.					
Base	b	1000 mm			
Altezza	h	832 mm			
<i>Barre tese</i>		<i>numero barre</i>	<i>diametro barre [mm]</i>	<i>copriferro in asse barra [mm]</i>	<i>Area barre [mm²]</i>
strato1		5	16	82	1005
strato2		0	0	0	0
strato3		0	0	0	0
strato4		0	0	0	0
strato5		0	0	0	0
Area barre tese	A _s	1005 mm ²			
Posizione della barra equivalente	c*	82 mm			

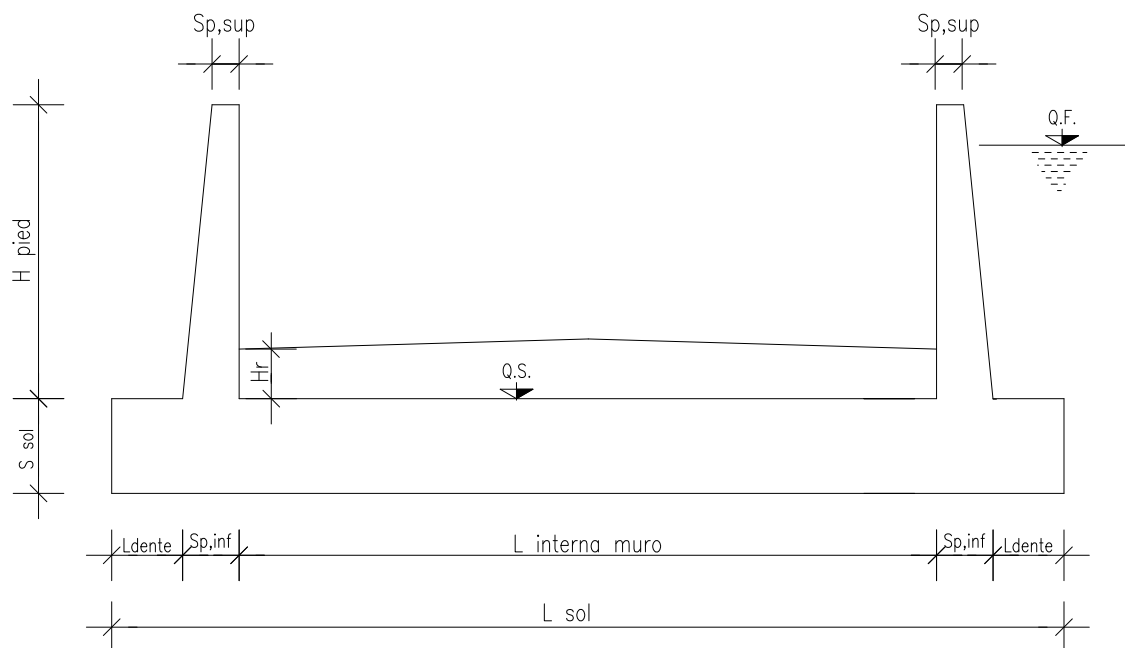
SOLLECITAZIONI		
Load Case		2_SLU_STR
Frame		-
Azione assiale (+ di compressione)	N _{Ed}	75,28 kN
Taglio	V _{Ed}	263,77 kN

VERIFICA RESISTENZA SEZIONE SENZA ARMATURA A TAGLIO		
Altezza utile della sezione	d	750 mm
Coefficiente	k	1,52
Rapporto di armatura longitudinale	ρ _l	0,13%
Tensione assiale media	σ _{cp}	0,09 N/mm ²
	0.2 x f _{cd}	3,76 N/mm ²
	v _{min}	0,38 N/mm ²
Resistenza al taglio minima	V _{rd,min}	292,61 kN
Resistenza al taglio senza armatura	V_{rd}	292,61 kN
Verifica		0,90 <i>Verifica soddisfatta</i>

Non è necessario prevedere armatura a taglio.

11.8.2.3. Verifiche allo stato limite di esercizio

PARAMETRI VERIFICA FESSURAZIONE								
kt=	0,40	(0,6 = azioni di breve durata; 0,4 = azioni di lunga durata)						
k ₁ =	0,80	(0,8=barre ad aderenza migliorata; 1,6= barre lisce e trefoli)						
k ₃ =	3,40	(valore raccomandato)						
k ₄ =	0,425	(valore raccomandato)						
CRITERI DI VERIFICA								
<u>Fessurazione</u>								
Condiz. Ambientali:	2	1- Ordinarie; 2- Aggressive; 3- Molto aggressive						
	Aggressive							
Armature:	2	1-Sensibili; 2-Poco sensibili						
	Poco sensibile							
<u>Tensioni in esercizio</u>								
	Limite	Limite	$\sigma_{c,max}$	$\sigma_{s,max}$				
Combinazione	α_c / f_{ck}	α_s / f_{yk}	[N/mm ²]	[N/mm ²]				
Quasi Permanente	0,40	0,75	13,28	337,50				
Caratteristica	0,55	0,75	18,26	337,50				
SOLLECITAZIONI SLE (N+ di compressione)								
<u>Fessurazione</u>								
Combinazione	n. combinazione	frame/nodo	N [kN]	M [kNm]	w _d [mm]	w _{lim} [mm]	M0 - Mf [kNm]	
Caratteristica	2_CAR	-	75,3	392,5	0,182	0,200	370,53	-
<u>Tensioni in esercizio</u>								
Combinazione	n. combinazione	nodo	N [kN]	M [kNm]	$\sigma_{c,min}$ [N/mm ²]	$\sigma_{s,max}$ [N/mm ²]	$\sigma_{s,min}$ [N/mm ²]	
Quasi permanente	1_QP	-	79,5	280,3	-3,42	97,21	-34,94	Sezione parzializzata
Caratteristica	2_CAR	-	79,5	432,7	-5,24	154,88	-52,87	Sezione parzializzata

12. MURO AD "U" - TIPOLOGIA 3 – H = 6.40M**12.1. Geometria della struttura**Dimensioni geometriche trasversali:

- L_{sol} = 7.14 m
- S_{sol} = 0.90 m
- $L_{int,muro}$ = 5.26 m
- L_{dente} = 0.00 m
- H_{pied} = 6.40 m
- $S_{p,sup}$ = 0.30 m
- $S_{p,inf}$ = 0.94 m
- Q.F.

La falda si trova al di sotto del piano di fondazione dei muri e pertanto non interessa la struttura.

12.2. Pressioni sul piedritto dovute ai carichi fondamentali

Si riportano di seguito le pressioni statiche e sismiche esercitate sui piedritti dal terreno, dalla falda e dall'azione sismica, per i casi di carico fondamentali.

z [m]	σ_v [kN/m ²]	σ'_v [kN/m ²]	$\sigma'_{h,k0,M1}$ [kN/m ²]	σ_w [kN/m ²]	$\sigma_{q,st,h,k0,M1}$ [kN/m ²]	$\Delta\sigma_{Ed,M1,(+)}$ [kN/m ²]	$\Delta\sigma_{idr}$ [kN/m ²]	f_h [kN/m ²]	f_v [kN/m ²]
0,000	0,000	0,000	0,000	0,000	10,000	16,564	0,000	2,023	1,012
0,320	6,400	6,400	3,200	0,000	10,000	16,564	0,000	2,239	1,120
0,640	12,800	12,800	6,400	0,000	10,000	16,564	0,000	2,455	1,228
0,960	19,200	19,200	9,600	0,000	10,000	16,564	0,000	2,671	1,335
1,280	25,600	25,600	12,800	0,000	10,000	16,564	0,000	2,887	1,443
1,600	32,000	32,000	16,000	0,000	10,000	16,564	0,000	3,103	1,551
1,920	38,400	38,400	19,200	0,000	10,000	16,564	0,000	3,318	1,659
2,240	44,800	44,800	22,400	0,000	10,000	16,564	0,000	3,534	1,767
2,560	51,200	51,200	25,600	0,000	10,000	16,564	0,000	3,750	1,875
2,880	57,600	57,600	28,800	0,000	10,000	16,564	0,000	3,966	1,983
3,200	64,000	64,000	32,000	0,000	10,000	16,564	0,000	4,182	2,091
3,520	70,400	70,400	35,200	0,000	10,000	16,564	0,000	4,398	2,199
3,840	76,800	76,800	38,400	0,000	10,000	16,564	0,000	4,613	2,307
4,160	83,200	83,200	41,600	0,000	10,000	16,564	0,000	4,829	2,415
4,480	89,600	89,600	44,800	0,000	10,000	16,564	0,000	5,045	2,523
4,800	96,000	96,000	48,000	0,000	10,000	16,564	0,000	5,261	2,630
5,120	102,400	102,400	51,200	0,000	10,000	16,564	0,000	5,477	2,738
5,440	108,800	108,800	54,400	0,000	10,000	16,564	0,000	5,693	2,846
5,760	115,200	115,200	57,600	0,000	10,000	16,564	0,000	5,908	2,954
6,080	121,600	121,600	60,800	0,000	10,000	16,564	0,000	6,124	3,062
6,400	128,000	128,000	64,000	0,000	10,000	16,564	0,000	6,340	3,170
6,625	132,500	132,500	66,250	0,000	10,000	16,564	0,000	6,492	3,246
6,850	137,000	137,000	68,500	0,000	10,000	16,564	0,000	6,644	3,322

Dove la coordinata verticale z è positiva verso il basso con l'origine posta in sommità al piedritto.

12.3. Riassunto delle sollecitazioni alla base del piedritto (in asse soletta)

Si riportano di seguito le sollecitazioni calcolate alla base del piedritto, in asse soletta, per tutti i casi di carico:

n.	LOAD CASE	N[kN]	M[kNm]	V[kN]
1	PP	110,03		
2	STERRE k0_M1		535,70	234,61
2a	STERRE K0_M2		622,15	272,47
2b	STERRE ka_M1		357,13	156,41
2c	STERRE ka_M2		438,34	191,97
3	FALDA		0,00	0,00
4	SOVR. STATICO k0_M1		234,61	68,50
4a	SOVR. STATICO k0_M2		272,47	79,55
4b	SOVR. SISMICO ka_M1		0,00	0,00
4c	SOVR. SISMICO ka_M2		0,00	0,00
5	INCR. SISMICO BASSO_M1		388,61	113,46
5a	INCR. SISMICO BASSO_M2		451,42	131,80
5b	INCR. SISMICO ALTO_M1		274,09	80,03
5c	INCR. SISMICO ALTO_M2		319,47	93,28
6	INCR. IDRODINAMICO		0,00	0,00
7	INERZIA ORIZZONTALE		101,67	29,68
8	INERZIA VERT (BASSO)	14,84		

12.4. Riassunto sollecitazioni massime piedritto

Si riportano di seguito le massime sollecitazioni calcolate per il piedritto ed adottate per le verifiche strutturali.

12.4.1. Combinazioni SLU – SLV

	CC	N [kN]	M[kNm]	V[kN]
Filo soletta _V_max	2_SLU_STR	99,20	875,18	362,24
1/4 spessore soletta _M_max	2_SLU_STR	104,55	959,19	384,66
Asse soletta _M_max	2_SLU_STR	110,03	1048,33	407,75

12.4.2. Combinazioni SLE

	CC	N [kN]	M[kNm]
Filo soletta _QP	1_QP	99,20	436,91
Filo soletta _FR	2_FR	99,20	590,51
Filo soletta _CAR	2_CAR	99,20	641,71
1/4 soletta _QP	1_QP	104,55	484,63
1/4 soletta _FR	2_FR	104,55	649,22
1/4 soletta _CAR	2_CAR	104,55	704,08

12.5. Riassunto massime sollecitazioni soletta

Si riportano di seguito le massime sollecitazioni calcolate nella soletta di fondazione ed adottate per le verifiche strutturali.

12.5.1. Combinazioni SLU - SLV

	CC	x[m]	M[kNm]	V[kN]
Filo piedritto SX_V_max	1_SLU_STR	1,312	838,422	168,343
Filo piedritto DX_V_max	3_SLU_STR	5,730	473,289	-122,431
1/4 spessore piedritto_M_max	2_SLU_STR	0,235	1021,144	121,018
Asse piedritto_M_max	2_SLU_STR	0,000	1048,327	110,028
Mezzeria_M_min	2_SLV_STR	5,099	190,613	-16,537

12.5.2. Combinazioni SLE

	CC	x[m]	M[kNm]
Filo piedritto_QP	1_QP	0,470	487,59
Filo piedritto_FR	2_FR	0,470	660,59
Filo piedritto_CAR	2_CAR	0,470	718,25

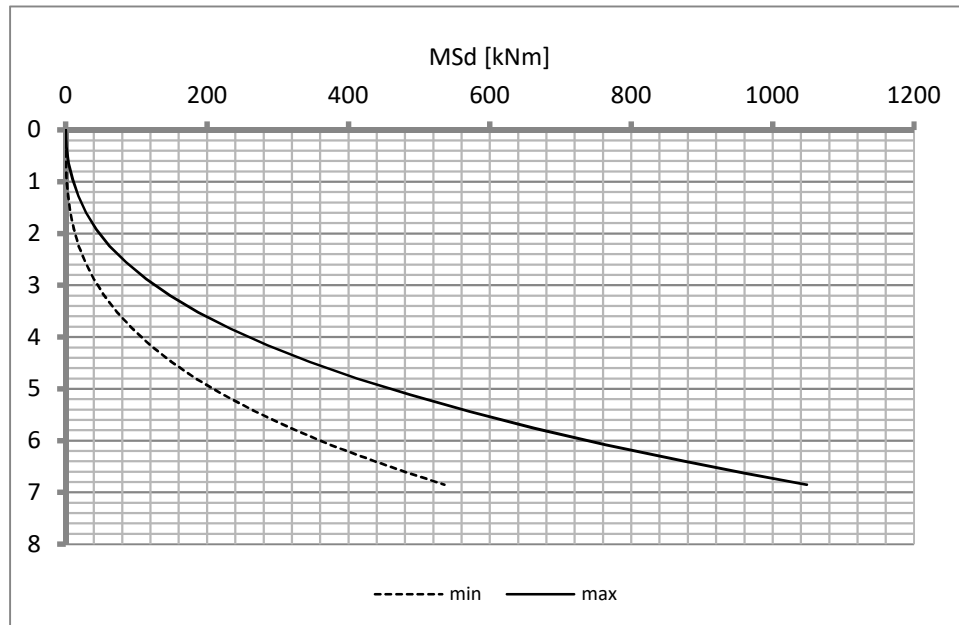
1/4 piedritto_QP	1_QP	0,235	510,74
1/4 piedritto_FR	2_FR	0,235	685,93
1/4 piedritto_CAR	2_CAR	0,235	744,33

Mezzeria_QP	1_QP	3,100	361,28
Mezzeria_FR	1_FR	3,100	361,28
Mezzeria_CAR	1_CAR	3,100	361,28

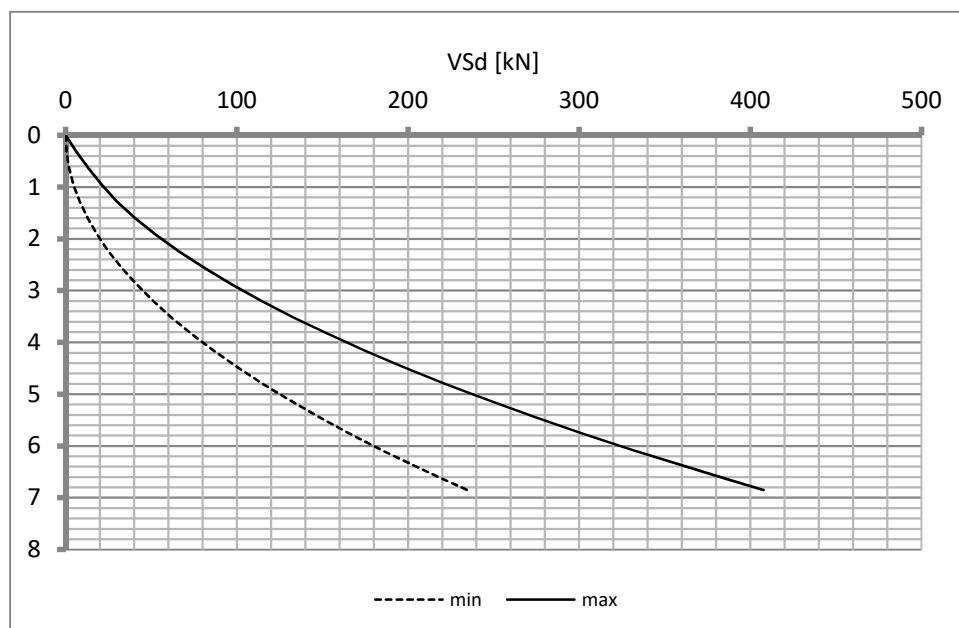
12.6. Diagrammi di involucro SLU-SLV

12.6.1. Piedritti

Momento



Taglio



Doc. N.

Progetto
INOR

Lotto
12

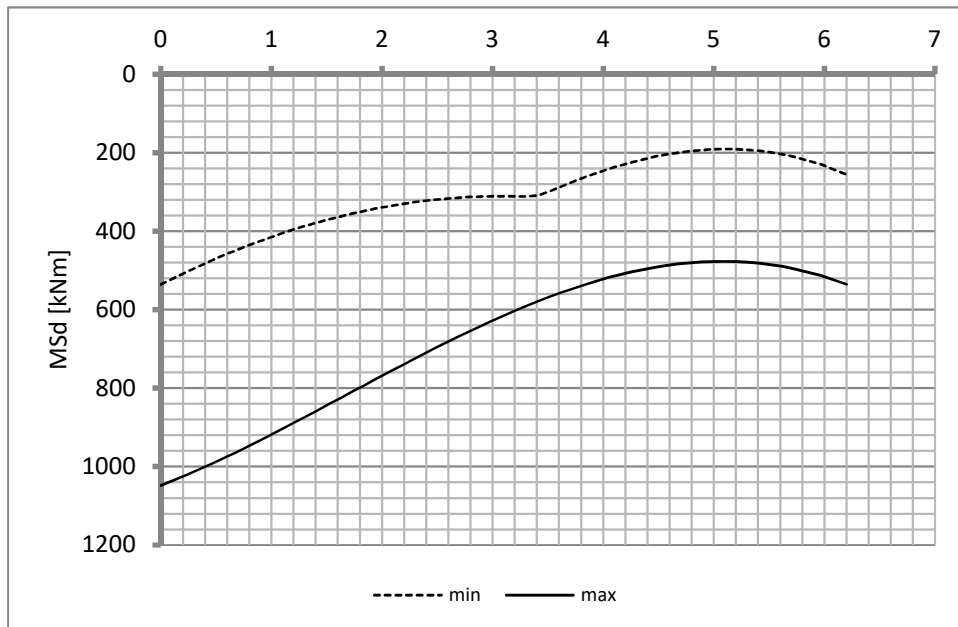
Codifica Documento
E E2 CL SLZ3 C0 001

Rev.
A

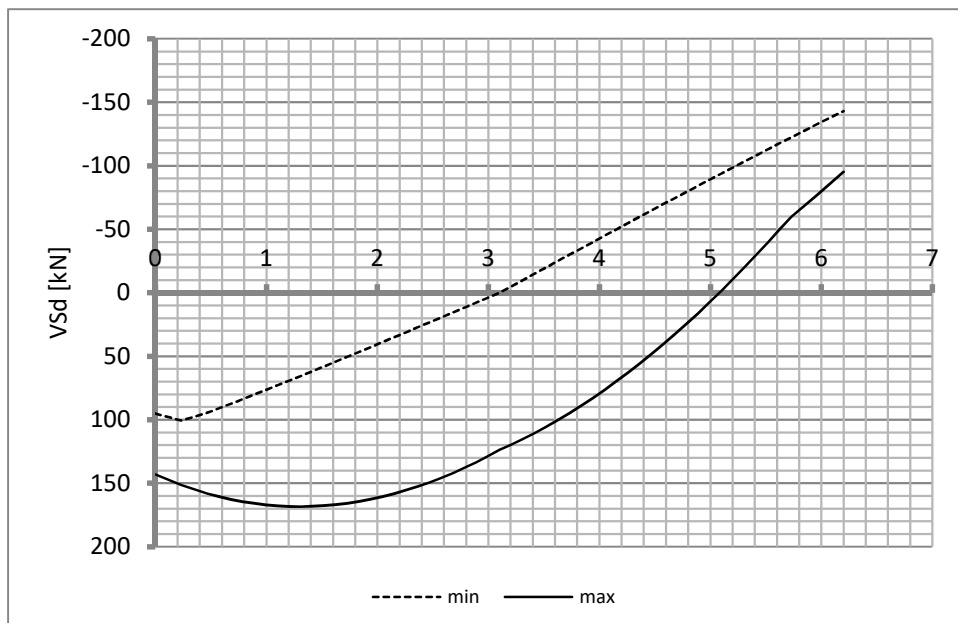
Foglio
66 di 82

12.6.2. Soletta

Momento

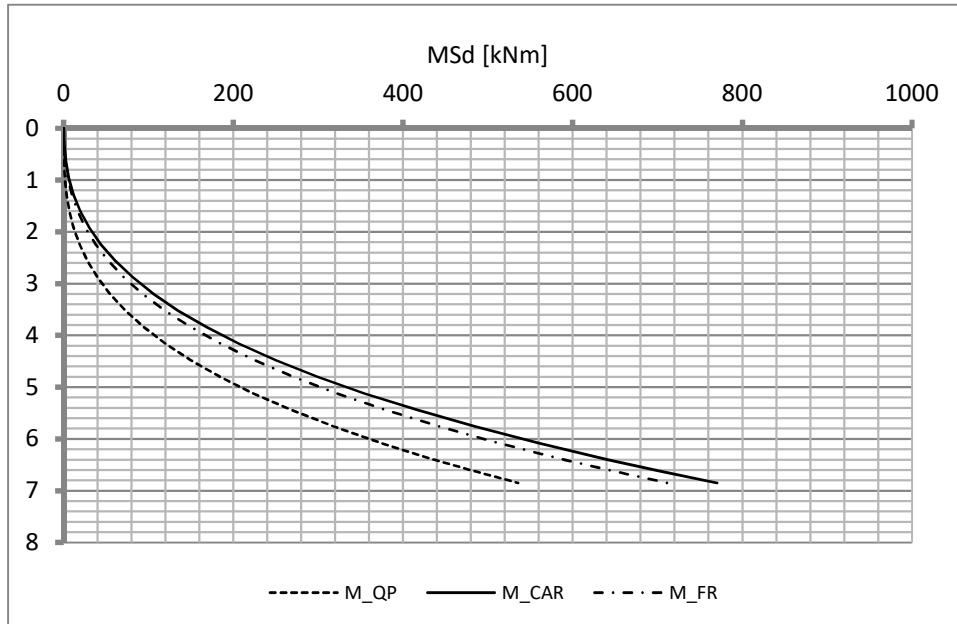


Taglio

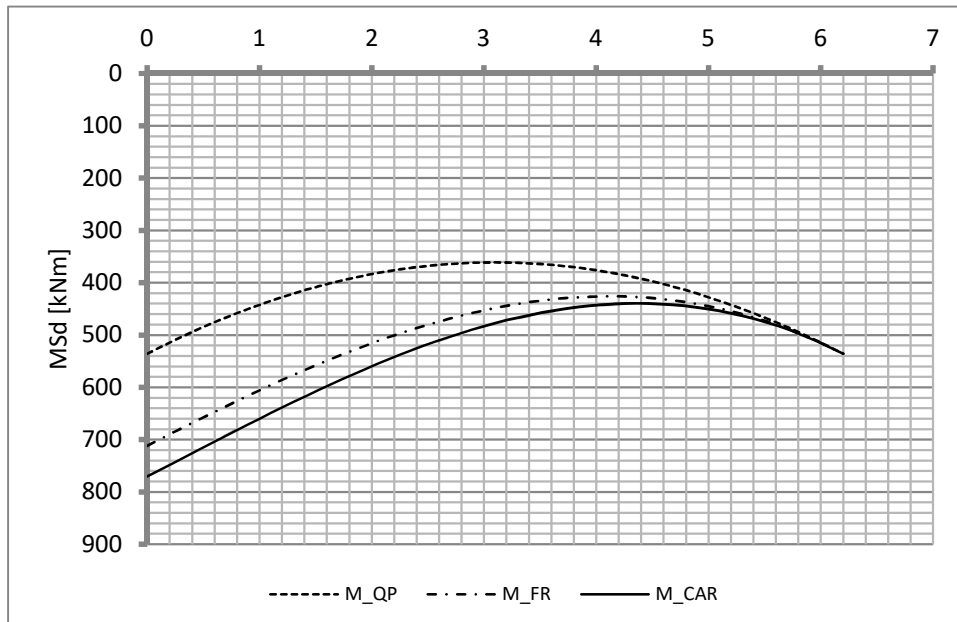


12.7. Diagrammi di involucro SLE

12.7.1. Piedritti

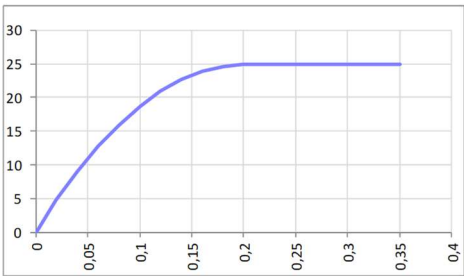
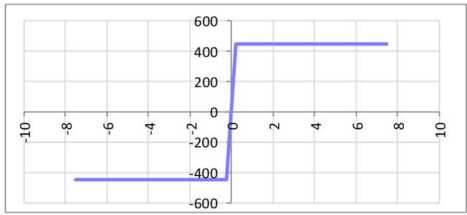
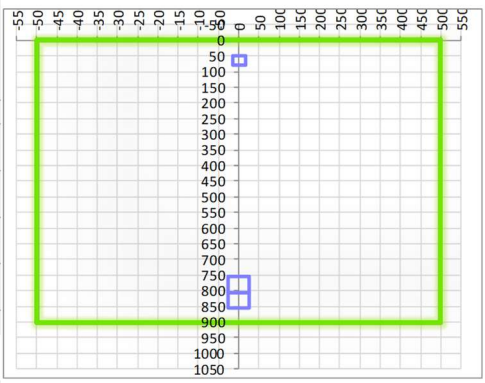


12.7.2. Soletta



12.8. Verifiche di resistenza ultima e di esercizio

12.8.1. Soletta

CARATTERISTICHE MATERIALI				
Calcestruzzo:				
Classe	C25/30			
R_{ck}	30,00 N/mm ²			
f_{ck}	24,90 N/mm ²			
f_{cm}	32,90 N/mm ²			
f_{ctm}	2,56 N/mm ²			
$f_{ctk,0.05}$	1,79 N/mm ²			
$f_{ctk,0.95}$	3,33 N/mm ²			
f_{ctm}	3,07 N/mm ²			
E_{cm}	31447,16 N/mm ²			
ϵ_{c2}	0,200 %			
ϵ_{c3}	0,175 %			
ϵ_{c4}	0,070 %			
ϵ_{cu}	0,350 %			
n	2,000			
tipo cemento	N			
				
Acciaio:				
Classe	B450C			
Tipologia comportamentale	EL-PL			
$k = (f_t/f_y)_k$	1			
f_{yk}	450 N/mm ²			
f_{tk}	540 N/mm ²			
E_s	200000 N/mm ²			
ϵ_{su}	7,500 %			
				
Coefficiente di omogeneizzazione:				
n ,breve termine	6,06 = E_s/E_c			
umidità relativa	75 %			
giorno app. carico	15 giorni			
periodo lungo termine	50 anni			
coefficiente di viscosità	2,12			
n ,lungo termine=	12,83 = E_s/E_{cm}			
n ,verifiche QP	15,0 = E_s/E_{cm}			
n ,verifiche CAR	15,0 = E_s/E_{cm}			
	lungo termine			
	breve termine			
CARATTERISTICHE SEZIONE				
Sezione:				
B=	1000 mm			
H=	900 mm			
Armature:				
Pos.	n° barre	Ø mm	y_i mm	As mm²
1	5	16	64	1005,3096
2	5	26	831	2654,6458
3	5	26	779	2654,6458
4				0
5				0
6				0
7				0
8				0
9				0
10				0
Armatura di ripartizione:				
Pos.	n° barre	Ø mm	y_i mm	As mm²
superiore	5	16	48	1005,3096
inferiore	5	16	852	1005,3096
				

Viene svolta solamente la verifica della sezione di attacco al piedritto in quanto il momento tende sempre le fibre inferiori su tutta la larghezza della soletta.

12.8.1.1. Verifiche allo stato limite ultimo per flessione

CRITERI DI VERIFICA																																																																																																
<i>Coefficienti di sicurezza allo SLU</i>																																																																																																
Calcestruzzo																																																																																																
α_{cc}	0,85																																																																																															
γ_c	1,50																																																																																															
f_{cd}	16,60 N/mm ²																																																																																															
$f_{ct,eff}$	2,13 N/mm ²	$=f_{ctm} / 1,2$																																																																																														
Acciaio																																																																																																
γ_s	1,15																																																																																															
f_{yd}	391,30 N/mm ²																																																																																															
ϵ_{yd}	0,196 %																																																																																															
STATO LIMITE ULTIMO - PRESSOFLESSIONE																																																																																																
Combinazione	frame/nodo	NSd [kN]	MSd [kNm]	NRd+ [kN]	NRd- [kN]	MRd+ [kNm]	MRd- [kNm]	MSd/MRd																																																																																								
2_SLU_STR	-	0,0	1021,1	15169,93	-2470,93	1543,96	-379,11	66%																																																																																								
<i>Sezione:</i>																																																																																																
			<p><i>Fibre compresse Superiori</i></p> <p>$\sigma_{c,max} = 14,11$ N/mm²</p> <p>$\sigma_{s,min} = -391,30$ N/mm²</p> <p>$\epsilon_{c,max} = 0,35$ %</p> <p>$\epsilon_{s,min} = -1,62$ %</p> <p>d = 831,00 mm</p> <p>x = 147,44 mm</p> <p>x/d = 0,18</p>																																																																																													
<i>Dominio M-N</i>																																																																																																
				<table border="1"> <thead> <tr> <th>Combinazione</th> <th>fram/nodo</th> <th>NSd [kN]</th> <th>MSd [kNm]</th> </tr> </thead> <tbody> <tr> <td>2_SLU_STR</td> <td>-</td> <td>0,0</td> <td>1021,1</td> </tr> <tr><td> </td><td> </td><td> </td><td> </td></tr> <tr><td> </td><td> </td><td> </td><td> </td></tr> <tr><td> </td><td> </td><td> </td><td> </td></tr> <tr><td> </td><td> </td><td> </td><td> </td></tr> <tr><td> </td><td> </td><td> </td><td> </td></tr> <tr><td> </td><td> </td><td> </td><td> </td></tr> <tr><td> </td><td> </td><td> </td><td> </td></tr> <tr><td> </td><td> </td><td> </td><td> </td></tr> <tr><td> </td><td> </td><td> </td><td> </td></tr> <tr><td> </td><td> </td><td> </td><td> </td></tr> <tr><td> </td><td> </td><td> </td><td> </td></tr> <tr><td> </td><td> </td><td> </td><td> </td></tr> <tr><td> </td><td> </td><td> </td><td> </td></tr> <tr><td> </td><td> </td><td> </td><td> </td></tr> <tr><td> </td><td> </td><td> </td><td> </td></tr> <tr><td> </td><td> </td><td> </td><td> </td></tr> <tr><td> </td><td> </td><td> </td><td> </td></tr> <tr><td> </td><td> </td><td> </td><td> </td></tr> <tr><td> </td><td> </td><td> </td><td> </td></tr> <tr><td> </td><td> </td><td> </td><td> </td></tr> </tbody> </table>					Combinazione	fram/nodo	NSd [kN]	MSd [kNm]	2_SLU_STR	-	0,0	1021,1																																																																																
Combinazione	fram/nodo	NSd [kN]	MSd [kNm]																																																																																													
2_SLU_STR	-	0,0	1021,1																																																																																													

12.8.1.2. Verifiche allo stato limite ultimo per taglio

CALCESTRUZZO		
Classe calcestruzzo		C25/30
Resistenza cubica caratteristica	R _{ck}	30,00 Mpa
Resistenza cilindrica caratteristica	f _{ck}	24,9 Mpa

ACCIAIO	
Tipologia	B450C
Resistenza caratteristica allo snervamento	450 Mpa

COEFFICIENTI MATERIALE		
Coefficiente di sicurezza per il calcestruzzo	γ _c	1,50
Coefficiente riduttivo per resistenze di lunga durata	α _{cc}	0,85
Coefficiente di sicurezza per l'acciaio	γ _s	1,15

GEOMETRIA SEZIONE C.A.					
Base	b	1000 mm			
Altezza	h	900 mm			
<i>Barre tese</i>		<i>numero barre</i>	<i>diametro barre [mm]</i>	<i>copriferro in asse barra [mm]</i>	<i>Area barre [mm²]</i>
strato1		5	16	64	1005
strato2		0	0	0	0
strato3		0	0	0	0
strato4		0	0	0	0
strato5		0	0	0	0
Area barre tese	A _s	1005 mm ²			
Posizione della barra equivalente	c*	64 mm			

SOLLECITAZIONI		
Load Case		1_SLU_STR
Frame		-
Azione assiale (+ di compressione)	N _{Ed}	0 kN
Taglio	V _{Ed}	168,343 kN

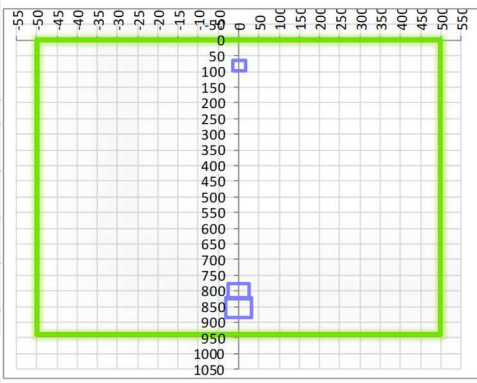
VERIFICA RESISTENZA SEZIONE SENZA ARMATURA A TAGLIO		
Altezza utile della sezione	d	836 mm
Coefficiente	k	1,49
Rapporto di armatura longitudinale	ρ _l	0,12%
Tensione assiale media	σ _{cp}	0,00 N/mm ²
	0.2 x f _{cd}	2,82 N/mm ²
	v _{min}	0,32 N/mm ²
Resistenza al taglio minima	V _{rd,min}	265,32 kN
Resistenza al taglio senza armatura	V_{rd}	265,32 kN
Verifica		0,63 <i>Verifica soddisfatta</i>

Non è necessario prevedere armatura a taglio.

12.8.1.3. Verifiche allo stato limite di esercizio

PARAMETRI VERIFICA FESSURAZIONE								
kt=	0,40	(0,6 = azioni di breve durata; 0,4 = azioni di lunga durata)						
k ₁ =	0,80	(0,8=barre ad aderenza migliorata; 1,6= barre lisce e trefoli)						
k ₃ =	3,40	(valore raccomandato)						
k ₄ =	0,425	(valore raccomandato)						
CRITERI DI VERIFICA								
<u>Fessurazione</u>								
Condiz. Ambientali:	1	1- Ordinarie; 2- Aggressive; 3- Molto aggressive						
	Ordinarie							
Armature:	2	1-Sensibili; 2-Poco sensibili						
	Poco sensibile							
<u>Tensioni in esercizio</u>								
	Limite	Limite	$\sigma_{c,max}$	$\sigma_{s,max}$				
Combinazione	σ_c / f_{ck}	σ_s / f_{yk}	[N/mm ²]	[N/mm ²]				
Quasi Permanente	0,40	0,75	9,96	337,50				
Caratteristica	0,55	0,75	13,70	337,50				
SOLLECITAZIONI SLE (N+ di compressione)								
<u>Fessurazione</u>								
Combinazione	<i>n. combinazione</i>	<i>frame/nodo</i>	<i>N</i>	<i>M</i>	<i>w_d</i>	<i>w_{lim}</i>	<i>MO - Mf</i>	
			[kN]	[kNm]	[mm]	[mm]	[kNm]	
Caratteristica	2_CAR	-	0,0	718,3	0,276	0,300	361,99	-
<u>Tensioni in esercizio</u>								
Combinazione	<i>n. combinazione</i>	<i>nodo</i>	<i>N</i>	<i>M</i>	$\sigma_{c,min}$	$\sigma_{s,max}$	$\sigma_{s,min}$	
			[kN]	[kNm]	[N/mm ²]	[N/mm ²]	[N/mm ²]	
Quasi permanente	1_QP	-	0,0	510,7	-4,73	141,04	-54,67	Sezione parzializzata
Caratteristica	2_CAR	-	0,0	744,3	-6,90	205,54	-79,68	Sezione parzializzata

12.8.2. Piedritto – sezione di base

CARATTERISTICHE MATERIALI				
Calcestruzzo:				
Classe	C32/40			
R_{ck}	40,00 N/mm ²			
f_{ck}	33,20 N/mm ²			
f_{cm}	41,20 N/mm ²			
f_{ctm}	3,10 N/mm ²			
$f_{ctk,0.05}$	2,17 N/mm ²			
$f_{ctk,0.95}$	4,03 N/mm ²			
f_{ctm}	3,72 N/mm ²			
E_{cm}	33642,78 N/mm ²			
ϵ_{c2}	0,200 %			
ϵ_{c3}	0,175 %			
ϵ_{c4}	0,070 %			
ϵ_{cu}	0,350 %			
n	2,000			
tipo cemento	N			
				
Acciaio:				
Classe	B450C			
Tipologia comportamer	EL-PL			
$k = (f_t/f_y)_k$	1			
f_{yk}	450 N/mm ²			
f_{tk}	540 N/mm ²			
E_s	200000 N/mm ²			
ϵ_{su}	7,500 %			
				
Coefficiente di omogenizzazione:				
n, breve termine	5,66 = E_s/E_c			
umidità relativa	75 %			
giorno app. carico	15 giorni			
periodo lungo termine	50 anni			
coefficiente di viscosità	1,93			
n, lungo termine =	10,92 = E_s/E_{cm}			
n, verifiche QP	15,0 = E_s/E_{cm} lungo termine			
n, verifiche CAR	15,0 = E_s/E_{cm} breve termine			
CARATTERISTICHE SEZIONE				
Sezione:				
B=	1000 mm			
H=	940 mm			
Armature:				
Pos.	n° barre	∅ mm	y _i mm	As mm ²
1	5	16	82	1005,3096
2	8	26	853	3981,9687
3	5	26	801	2654,6458
4				0
5				0
6				0
7				0
8				0
9				0
10				0
				
Armatura di ripartizione:				
Pos.	n° barre	∅ mm	y _i mm	As mm ²
superiore	5	16	66	1005,3096
inferiore	5	16	874	1005,3096

12.8.2.2. Verifiche allo stato limite ultimo per taglio

CALCESTRUZZO		
Classe calcestruzzo		C32/40
Resistenza cubica caratteristica	R _{ck}	40,00 Mpa
Resistenza cilindrica caratteristica	f _{ck}	33,2 Mpa

ACCIAIO	
Tipologia	B450C
Resistenza caratteristica allo snervamento	450 Mpa

COEFFICIENTI MATERIALE		
Coefficiente di sicurezza per il calcestruzzo	γ _c	1,50
Coefficiente riduttivo per resistenze di lunga durata	α _{cc}	0,85
Coefficiente di sicurezza per l'acciaio	γ _s	1,15

GEOMETRIA SEZIONE C.A.					
Base	b	1000 mm			
Altezza	h	940 mm			
<i>Barre tese</i>		<i>numero barre</i>	<i>diametro barre [mm]</i>	<i>copriferro in asse barra [mm]</i>	<i>Area barre [mm²]</i>
strato1		8	26	87	3982
strato2		0	0	0	0
strato3		0	0	0	0
strato4		0	0	0	0
strato5		0	0	0	0
Area barre tese	A _s	3982 mm ²			
Posizione della barra equivalente	c*	87 mm			

SOLLECITAZIONI		
Load Case		2_SLU_STR
Frame		-
Azione assiale (+ di compressione)	N _{Ed}	99,2 kN
Taglio	V _{Ed}	362,24 kN

VERIFICA RESISTENZA SEZIONE SENZA ARMATURA A TAGLIO		
Altezza utile della sezione	d	853 mm
Coefficiente	k	1,48
Rapporto di armatura longitudinale	ρ _l	0,47%
Tensione assiale media	σ _{cp}	0,11 N/mm ²
	0.2 x f _{cd}	3,76 N/mm ²
	v _{min}	0,36 N/mm ²
Resistenza al taglio minima	V _{rd,min}	324,55 kN
Resistenza al taglio senza armatura	V_{rd}	392,29 kN
Verifica		0,92 <i>Verifica soddisfatta</i>

12.8.2.3. Verifiche allo stato limite di esercizio

PARAMETRI VERIFICA FESSURAZIONE								
kt=	0,40	(0,6 = azioni di breve durata; 0,4 = azioni di lunga durata)						
k ₁ =	0,80	(0,8=barre ad aderenza migliorata; 1,6= barre lisce e trefoli)						
k ₃ =	3,40	(valore raccomandato)						
k ₄ =	0,425	(valore raccomandato)						
CRITERI DI VERIFICA								
<u>Fessurazione</u>								
Condiz. Ambientali:	2	1- Ordinarie; 2- Aggressive; 3- Molto aggressive						
	Aggressive							
Armature:	2	1-Sensibili; 2-Poco sensibili						
	Poco sensibile							
<u>Tensioni in esercizio</u>								
	Limite	Limite	$\sigma_{c,max}$	$\sigma_{s,max}$				
Combinazione	σ_c / f_{ck}	σ_s / f_{yk}	[N/mm ²]	[N/mm ²]				
Quasi Permanente	0,40	0,75	13,28	337,50				
Caratteristica	0,55	0,75	18,26	337,50				
SOLLECITAZIONI SLE (N+ di compressione)								
<u>Fessurazione</u>								
Combinazione	n. combinazione	frame/nodo	N [kN]	M [kNm]	w _d [mm]	w _{lim} [mm]	MO - Mf [kNm]	
Caratteristica	2_CAR	-	99,2	641,7	0,165	0,200	507,85	-
<u>Tensioni in esercizio</u>								
Combinazione	n. combinazione	nodo	N [kN]	M [kNm]	$\sigma_{c,min}$ [N/mm ²]	$\sigma_{s,max}$ [N/mm ²]	$\sigma_{s,min}$ [N/mm ²]	
Quasi permanente	1_QP	-	104,6	484,6	-4,08	96,70	-46,02	Sezione parzializzata
Caratteristica	2_CAR	-	104,6	704,1	-5,88	143,71	-65,94	Sezione parzializzata

12.8.3. Piedritto – a 130cm dalla sezione di base

CARATTERISTICHE MATERIALI																																																								
Calcestruzzo:																																																								
Classe	C32/40																																																							
R_{ck}	40,00 N/mm ²																																																							
f_{ck}	33,20 N/mm ²																																																							
f_{cm}	41,20 N/mm ²																																																							
f_{ctm}	3,10 N/mm ²																																																							
$f_{ctk,0.05}$	2,17 N/mm ²																																																							
$f_{ctk,0.95}$	4,03 N/mm ²																																																							
f_{ctm}	3,72 N/mm ²																																																							
E_{cm}	33642,78 N/mm ²																																																							
ϵ_{c2}	0,200 %																																																							
ϵ_{c3}	0,175 %																																																							
ϵ_{c4}	0,070 %																																																							
ϵ_{cu}	0,350 %																																																							
n	2,000																																																							
tipo cemento	N																																																							
																																																								
Acciaio:																																																								
Classe	B450C																																																							
Tipologia comportamentale	EL-PL																																																							
$k = (f_t/f_y)_k$	1																																																							
f_{yk}	450 N/mm ²																																																							
f_{tk}	540 N/mm ²																																																							
E_s	200000 N/mm ²																																																							
ϵ_{su}	7,500 %																																																							
																																																								
Coefficiente di omogenizzazione:																																																								
n, breve termine	5,66 = E_s/E_c																																																							
umidità relativa	75 %																																																							
giorno app. carico	15 giorni																																																							
periodo lungo termine	50 anni																																																							
coefficiente di viscosità	1,94																																																							
n, lungo termine =	10,99 = E_s/E_{cm}																																																							
n, verifiche QP	15,0 = E_s/E_{cm} lungo termine																																																							
n, verifiche CAR	15,0 = E_s/E_{cm} breve termine																																																							
CARATTERISTICHE SEZIONE																																																								
Sezione:																																																								
B=	1000 mm																																																							
H=	812 mm																																																							
Armature:																																																								
<table border="1"> <thead> <tr> <th>Pos.</th> <th>n° barre</th> <th>∅ mm</th> <th>y_i mm</th> <th>As mm²</th> </tr> </thead> <tbody> <tr> <td>1</td> <td>5</td> <td>16</td> <td>82</td> <td>1005,3096</td> </tr> <tr> <td>2</td> <td>8</td> <td>26</td> <td>725</td> <td>3981,9687</td> </tr> <tr> <td>3</td> <td></td> <td></td> <td></td> <td>0</td> </tr> <tr> <td>4</td> <td></td> <td></td> <td></td> <td>0</td> </tr> <tr> <td>5</td> <td></td> <td></td> <td></td> <td>0</td> </tr> <tr> <td>6</td> <td></td> <td></td> <td></td> <td>0</td> </tr> <tr> <td>7</td> <td></td> <td></td> <td></td> <td>0</td> </tr> <tr> <td>8</td> <td></td> <td></td> <td></td> <td>0</td> </tr> <tr> <td>9</td> <td></td> <td></td> <td></td> <td>0</td> </tr> <tr> <td>10</td> <td></td> <td></td> <td></td> <td>0</td> </tr> </tbody> </table>	Pos.	n° barre	∅ mm	y _i mm	As mm ²	1	5	16	82	1005,3096	2	8	26	725	3981,9687	3				0	4				0	5				0	6				0	7				0	8				0	9				0	10				0	
Pos.	n° barre	∅ mm	y _i mm	As mm ²																																																				
1	5	16	82	1005,3096																																																				
2	8	26	725	3981,9687																																																				
3				0																																																				
4				0																																																				
5				0																																																				
6				0																																																				
7				0																																																				
8				0																																																				
9				0																																																				
10				0																																																				
Armatura di ripartizione:																																																								
<table border="1"> <thead> <tr> <th>Pos.</th> <th>n° barre</th> <th>∅ mm</th> <th>y_i mm</th> <th>As mm²</th> </tr> </thead> <tbody> <tr> <td>superiore</td> <td>5</td> <td>16</td> <td>66</td> <td>1005,3096</td> </tr> <tr> <td>inferiore</td> <td>5</td> <td>16</td> <td>746</td> <td>1005,3096</td> </tr> </tbody> </table>	Pos.	n° barre	∅ mm	y _i mm	As mm ²	superiore	5	16	66	1005,3096	inferiore	5	16	746	1005,3096																																									
Pos.	n° barre	∅ mm	y _i mm	As mm ²																																																				
superiore	5	16	66	1005,3096																																																				
inferiore	5	16	746	1005,3096																																																				

Doc. N.

Progetto
INOR

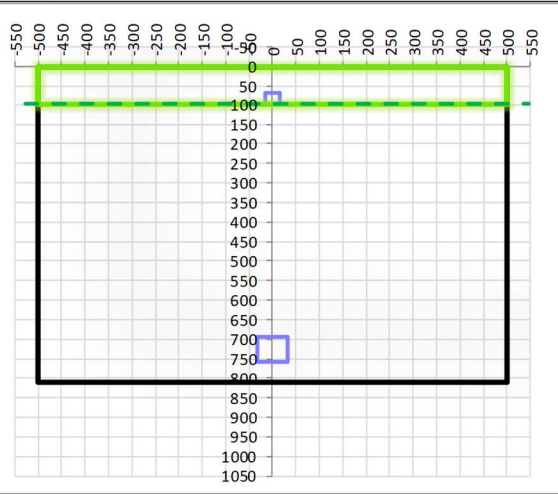
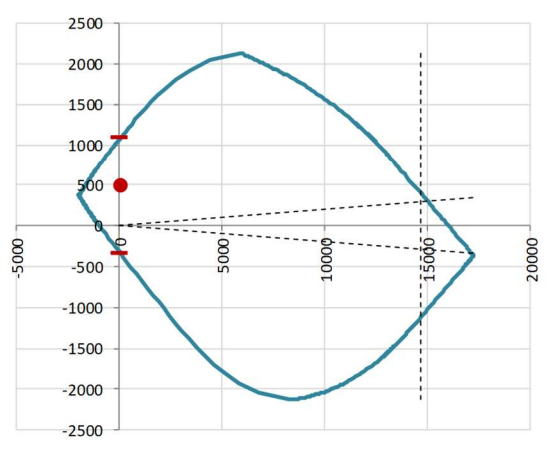
Lotto
12

Codifica Documento
E E2 CL SLZ3 C0 001

Rev.
A

Foglio
77 di 82

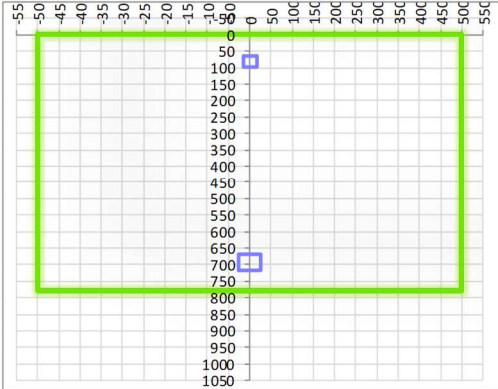
12.8.3.1. Verifiche allo stato limite ultimo per flessione

CRITERI DI VERIFICA																																																	
Coefficienti di sicurezza allo SLU																																																	
Calcestruzzo																																																	
α_{cc}	0,85																																																
γ_c	1,50																																																
f_{cd}	22,13 N/mm ²																																																
$f_{ct,eff}$	2,58 N/mm ²	= $f_{ctm} / 1,2$																																															
Acciaio																																																	
γ_s	1,15																																																
f_{yd}	391,30 N/mm ²																																																
ϵ_{yd}	0,196 %																																																
STATO LIMITE ULTIMO - PRESSOFLESSIONE																																																	
Combinazione	frame/nodo	NSd [kN]	MSd [kNm]	NRd+ [kN]	NRd- [kN]	MRd+ [kNm]	MRd- [kNm]	MSd/MRd																																									
2_SLU_STR	-	61,6	487,4	17227,97	-1951,54	1083,39	-334,74	45%																																									
Sezione:																																																	
				Fibre compresse Superiori $\sigma_{c,max}$ = 18,81 N/mm ² $\sigma_{s,min}$ = -391,30 N/mm ² $\epsilon_{c,max}$ = 0,35 % $\epsilon_{s,min}$ = -2,22 % d = 725,00 mm x = 98,58 mm x/d = 0,14																																													
Dominio M-N																																																	
				<table border="1" style="width: 100%; border-collapse: collapse; background-color: #90ee90;"> <thead> <tr style="background-color: #e0f0ff;"> <th>Combinazione</th> <th>fram/nodo</th> <th>NSd [kN]</th> <th>MSd [kNm]</th> </tr> </thead> <tbody> <tr> <td>2_SLU_STR</td> <td>-</td> <td>61,6</td> <td>487,4</td> </tr> <tr><td> </td><td> </td><td> </td><td> </td></tr> <tr><td> </td><td> </td><td> </td><td> </td></tr> <tr><td> </td><td> </td><td> </td><td> </td></tr> <tr><td> </td><td> </td><td> </td><td> </td></tr> <tr><td> </td><td> </td><td> </td><td> </td></tr> <tr><td> </td><td> </td><td> </td><td> </td></tr> <tr><td> </td><td> </td><td> </td><td> </td></tr> <tr><td> </td><td> </td><td> </td><td> </td></tr> </tbody> </table>						Combinazione	fram/nodo	NSd [kN]	MSd [kNm]	2_SLU_STR	-	61,6	487,4																																
Combinazione	fram/nodo	NSd [kN]	MSd [kNm]																																														
2_SLU_STR	-	61,6	487,4																																														

12.8.3.2. Verifiche allo stato limite di esercizio

PARAMETRI VERIFICA FESSURAZIONE								
kt=	0,40	(0,6 = azioni di breve durata; 0,4 = azioni di lunga durata)						
k ₁ =	0,80	(0,8=barre ad aderenza migliorata; 1,6= barre lisce e trefoli)						
k ₃ =	3,40	(valore raccomandato)						
k ₄ =	0,425	(valore raccomandato)						
CRITERI DI VERIFICA								
<u>Fessurazione</u>								
Condiz. Ambientali:	2	1- Ordinarie; 2- Aggressive; 3- Molto aggressive						
	Aggressive							
Armature:	2	1-Sensibili; 2-Poco sensibili						
	Poco sensibile							
<u>Tensioni in esercizio</u>								
	Limite	Limite	$\sigma_{c,max}$	$\sigma_{s,max}$				
Combinazione	σ_c / f_{ck}	σ_s / f_{yk}	[N/mm ²]	[N/mm ²]				
Quasi Permanente	0,40	0,75	13,28	337,50				
Caratteristica	0,55	0,75	18,26	337,50				
SOLLECITAZIONI SLE (N+ di compressione)								
<u>Fessurazione</u>								
Combinazione	n. combinazione	frame/nodo	N [kN]	M [kNm]	w _d [mm]	w _{lim} [mm]	M0 - Mf [kNm]	
Caratteristica	2_CAR	-	71,2	354,8	Msd<Mf	0,200	355,35	-
<u>Tensioni in esercizio</u>								
Combinazione	n. combinazione	nodo	N [kN]	M [kNm]	$\sigma_{c,min}$ [N/mm ²]	$\sigma_{s,max}$ [N/mm ²]	$\sigma_{s,min}$ [N/mm ²]	
Quasi permanente	1_QP	-	71,2	223,7	-2,81	78,69	-28,52	Sezione parzializzata
Caratteristica	2_CAR	-	71,2	354,8	-4,42	129,52	-44,15	Sezione parzializzata

12.8.4. Piedritto – a 160cm dalla sezione di base

CARATTERISTICHE MATERIALI				
Calcestruzzo:				
Classe	C32/40			
R_{ck}	40,00 N/mm ²			
f_{ck}	33,20 N/mm ²			
f_{cm}	41,20 N/mm ²			
f_{ctm}	3,10 N/mm ²			
$f_{ctk,0.05}$	2,17 N/mm ²			
$f_{ctk,0.95}$	4,03 N/mm ²			
f_{ctm}	3,72 N/mm ²			
E_{cm}	33642,78 N/mm ²			
ϵ_{c2}	0,200 %			
ϵ_{c3}	0,175 %			
ϵ_{c4}	0,070 %			
ϵ_{cu}	0,350 %			
n	2,000			
tipo cemento	N			
				
Acciaio:				
Classe	B450C			
Tipologia comportamentale	EL-PL			
$k = (f_t/f_y)_k$	1			
f_{yk}	450 N/mm ²			
f_{tk}	540 N/mm ²			
E_s	200000 N/mm ²			
ϵ_{su}	7,500 %			
				
Coefficiente di omogenizzazione:				
n, breve termine	5,66 = E_s/E_c			
umidità relativa	75 %			
giorno app. carico	15 giorni			
periodo lungo termine	50 anni			
coefficiente di viscosità	1,95			
n, lungo termine =	11,02 = E_s/E_{cm}			
n, verifiche QP	15,0 = E_s/E_{cm} lungo termine			
n, verifiche CAR	15,0 = E_s/E_{cm} breve termine			
CARATTERISTICHE SEZIONE				
Sezione:				
B=	1000 mm			
H=	780 mm			
Armature:				
Pos.	n° barre	∅ mm	y _i mm	As mm ²
1	5	16	82	1005,3096
2	5	26	693	2654,6458
3				0
4				0
5				0
6				0
7				0
8				0
9				0
10				0
				
Armatura di ripartizione:				
Pos.	n° barre	∅ mm	y _i mm	As mm ²
superiore	5	16	66	1005,3096
inferiore	5	16	714	1005,3096

12.8.4.2. Verifiche allo stato limite di esercizio

PARAMETRI VERIFICA FESSURAZIONE								
kt=	0,40	(0,6 = azioni di breve durata; 0,4 = azioni di lunga durata)						
k ₁ =	0,80	(0,8=barre ad aderenza migliorata; 1,6= barre lisce e trefoli)						
k ₃ =	3,40	(valore raccomandato)						
k ₄ =	0,425	(valore raccomandato)						
CRITERI DI VERIFICA								
<u>Fessurazione</u>								
Condiz. Ambientali:	2	1- Ordinarie; 2- Aggressive; 3- Molto aggressive						
	Aggressive							
Armature:	2	1-Sensibili; 2-Poco sensibili						
	Poco sensibile							
<u>Tensioni in esercizio</u>								
	Limite	Limite	$\sigma_{c,max}$	$\sigma_{s,max}$				
Combinazione	σ_c / f_{ck}	σ_s / f_{yk}	[N/mm ²]	[N/mm ²]				
Quasi Permanente	0,40	0,75	13,28	337,50				
Caratteristica	0,55	0,75	18,26	337,50				
SOLLECITAZIONI SLE (N+ di compressione)								
<u>Fessurazione</u>								
Combinazione	n. combinazione	frame/nodo	N [kN]	M [kNm]	w _d [mm]	w _{lim} [mm]	M0 - Mf [kNm]	
Caratteristica	2_CAR	-	64,8	299,5	Msd<Mf	0,200	311,06	-
<u>Tensioni in esercizio</u>								
Combinazione	n. combinazione	nodo	N [kN]	M [kNm]	$\sigma_{c,min}$ [N/mm ²]	$\sigma_{s,max}$ [N/mm ²]	$\sigma_{s,min}$ [N/mm ²]	
Quasi permanente	1_QP	-	64,8	184,3	-2,87	99,10	-26,25	Sezione parzializzata
Caratteristica	2_CAR	-	64,8	299,5	-4,63	168,18	-41,39	Sezione parzializzata

GENERAL CONTRACTOR



ALTA SORVEGLIANZA



Doc. N.

Progetto
INOR

Lotto
12

Codifica Documento
E E2 CL SLZ3 C0 001

Rev.
A

Foglio
82 di 82

13. RIFERIMENTI

13.1. Documenti referenziati

Rif. [1] Cepav due, documento n° INOR 12 E E2 RB SL Z3 00 001, intitolato “SLZ3 - Sottopasso poderale pk 110+046.622 - RELAZIONE GEOTECNICA”

13.2. Documenti correlati

Non sono presenti documenti correlati.

13.3. Documenti superati

Non sono presenti documenti superati.